# REPUBLIQUE ALGERIENNE DEMOCRATIQUE ET POPULAIRE MINISTERE DE L'ENSEIGNEMENT SUPERIEUR ET DE LA RECHERCHE SCIENTIFIQUE

#### Université de Blida 1



Faculté des sciences de la nature et de la vie Département de biologie Mémoire de fin d'étude

En vue de l'obtention du diplôme de master en Biologie

**Option: Microbiologie** 

Sous le thème

# Caractérisation des communautés microbiennes des eaux d'oueds dans la région de Blida

Soutenu le : 01/07/2024

Réalisé par :

Mlle Kadi Sabrina Mlle Saadaoui Marwa Mlle Boussadi Sarah

Devant le jury:

Mme OUAHCHIA C.MABUniversité Blida -1PrésidenteMme TOBAL SEGHIR S.MAAUniversité Blida -1ExaminatriceMme ZEROUTI K.MCBUniversité Blida -1PromotriceMme HENNI FZ.DoctoranteUniversité Blida -1Co-Promotrice

Année universitaire: 2023 – 2024

## Remerciements

Tout d'abord, nous remercions "ALLAH "tout puissant qui nous a donné la force, la volonté et le courage d'accomplir ce travail.

Nos vifs remerciements vont en premier lieu à notre promotrice **Mme Zeroutti**kh qui a bien voulu accepter l'encadrement de notre travail. Elle nous à aidées avec ses orientations éclairantes accompagnées d'une grande gentillesse.

Nous remercions notre Co-promotrice **Mme Henní Fatíma Zahra** pour son aíde et sa disponibilité à chaque fois que nous avons besoin d'elle.

Nous voudrons remercier **Mme Ouahchia C** qui nous a honorés d'avoir accepté de présider les jurys, nous remercions également **Mme Tobal Seghir S** 

D'avoir accepté d'examiner ce travail

Nous n'oublions pas de remercie tout le membre de l'équipe du laboratoire d'hygiène et en particulier **Mr Teffahí djamel** qui nous a beaucoup approvisionné en milieux et réactifs nécessaires, et de ne nous avoir jamais privé de son savoir

Nous remercions Mr **Kadi Mourad** pour son aide précieuse et sa présence à nos côtés lors de la collecte d'échantillons dans l'oued.

Nous remercions l'ensemble des enseignants pour tous ce qu'ils nous ont appris Et enfin un grand merci à toutes les personnes qui ont contribué de près ou de loin à l'élaboration de ce travail.

### Dédicace

Grace à dieu le tout puissant qui m'a aidé a traversé cette belle aventure universitaire, couronnée par un mémoire de fin d'étude.

Du profond de mon cœur, je dédie ce travail à tous ceux qui me sont chers,

### À mes chers parents

Pour leurs amours, leurs soutiens et leurs encouragements et pour tous les sacrifices, pour lesquels que vous avez consentis dans ma vie et toute au long de mon parcours, si je suis arrivée là, c'est bien grâce à vous. Que dieu vous donne longue vie et vous protège pour moi

À mes chères sœurs Halíma, Lína et Amel À mes frères Oussama et Noureddín

Qui sont ma joie dans ma vie, ma vie ne serait pas aussi magique sans vos présences et votre amour.

À mon oncle Mohamed je t'aime de tout mon cœur
À ma meilleur copine Roumaissa une source de rire et de bonheur
À toute la famille

À toute mes amies et mes collègues Sarah et Sabrine pour les émotions et les sentiments partagés qui ont donné un charme à notre travail

A tous mes professeurs dans tous les cycles de ma scolarité qui m'ont éclairé la vie du savoir





### Dédicace

Louange à Dieu seul,

Ce modeste travail est dédié spécialement

A ma chère maman **Nassíma**, ma raíson de vívre, en témoignage de ma reconnaissance pour sa patience, son amour et ses sacrifices.

À mon cher papa Mourad pour son amour et son dévouement.

« A vous, mes parents, je dis merci d'avoir fait de moi celui que je suis aujourd'hui.

Aucune dédicace ne pourra exprimer mes respects, mes considérations et ma grande admiration pour vous. Puisse ce travail vous témoigne mon affection et mon profond amour »

A mes chères sœurs **Nadjía** et **Feríel**, et à mon petit frère d'amour **Mohamed Yacíne**, qui je le sais, ma réussite est très importante à leurs yeux. Que Dieu vous garde pour moi.

« À vous, mes princesses et mon prince je souhaite une vie pleine de bonheur, de joie et de réussite »

À mes amís **Selma** et **Aya,** mes enseignants, mes bínômes **Sarah** et **Marwa** 

Et pour ceux qui m'ont donné de laide un jour, que Dieu vous paye pour tous vos bienfaits.

Pour finir, à tous ceux que j'aime et qui m'aiment, je dédie ce mémoire

Sabrina

### Dédicace

Mercí à Allah de m'avoir donné la capacité décrire, de réfléchir, d'avoir la force d'en croire en lui et surtout d'avoir la patience de persévérer jusqu'à la réalisation de mon rêve et de mon bonheur, tout en levant, mes mains vers le ciel et dire :

Je tiens c'est avec grande plaisir que je dédie ce modeste travail

À ma mère khíra, la lumière de mes jours, la source de mes efforts, la flamme de mon cœur, ma vie.

Je tiens à vous remercier pour tout l'amour, le soutien et la confiance sans vous, je n'aurais pas pu réaliser mon rêve et atteindre ce que je suis aujourd'hui,

A mon père Ibrahím, mon soutien dans la vie et source de joie et de bonheur, celui qui s'est toujours sacrifié pour me voir réussir.

A mes chers frère Abd El fatah, Mohamed, je vous souhaite à tous plein de joie et de bonheur

À ma chère sœur Amína et son marí qui n'ont pas cessé de me conseiller, encourager et soutenir tout au long de mes études.

À ma petite sœur Assil qui sait toujours commet procurer la joie et le bonheur pour toute la famille

### À ma chère nièce Elyane

Tout le succès et le bonheur dans ta vie. Avec tout mon amour.

À mon adorable amíe Ranía pour votre encouragement, votre aíde et surtout votre présence dans les moments Les plus difficiles.

À ma fidèle amie Somia pour chaque moment, chaque instant, chaque sourire, chaque aventure ensemble, que dieu réalise vos rêves

À tous mes chers amís **Ilhame**, **Chaíma**, **Randa Inès Roumaíssa Salíma Wíssem et à mes collègues Sabríne et Marwa** pour tous les moments inoubliables surtout durant le travail pratique et la période de prélèvement.

Sarah 🕊

#### Liste des tableaux

N° de tableau	Titre	Page		
I	Différentes origines possibles de pollution des eaux	4		
II	Les paramètres physicochimiques influençant la qualité des eaux d'oueds			
III	II Caractéristiques des coliformes totaux et fécaux.			
IV	IV Les principales bactéries pathogènes.			
V	Résultats des coliformes totaux × 10^3 CT/ 100 ml	30		
VI	Résultats de dénombrement des coliformes fécaux × 10^3 CT/ 100 ml	31		
VII	Résultats des streptocoques fécaux × 10 <sup>3</sup> SF/100ml	33		
VIII	Résultats de rapport CF/SF dans l'Oued Chiffa et l'Oeud Beni Azza	35		
IX	Résultats de dénombrement des spores des ASR	35		
X Résultats des tests de catalase et d'oxydase		38		
XI Résultats de l'identification biochimiques		38		
XII	Répartition des bactéries pathogènes isolées à partir de l'Oued Chiffa sur les sites 1 et 2	39		
XIII	XIII Les bactéries pathogènes isolées à partir de l'Oued Beni Azza sur les sites 1 et 2			
XIIII	XIIII Résultats des champignons			

## Liste des figures

N° de figure	Titre	Page		
1	Présentation de la zone d'étude	14		
2	Carte topographique de la zone d'étude : localisation et vue satellitaire	15		
3	Présentation de la zone d'étude	15		
4	Technique d'ensemencement	21		
5	Aspect macroscopique des colonies	21		
6	Recherche et aspect macroscopique de Pseudomonas aeruginosa	22		
7	Résultat d'une catalase positive et négative	23		
8	8 Méthodes d'identification du candida pathogènes			
9	Histogramme des Variations de la température de l'eau d'Oued Chiffa (à gauche) et Oued Beni Azza (à droite) en rouge la température du jour (2024).	26		
10	Histogramme des Variations de potentiel d'hydrogène de l'eau d'Oued de Chiffa et Beni Azza (2024)	27		
11				
Histogramme des Variations d'oxygène dissous de l'eau des deux Oue Chiffa et Beni Azza		29		
Résultats de test présomptif d'oued Chiffa site 1 (O1S1) et Beni Azza site 1 (0251) dans le mois avril 2024		31		
14				
Résultats de test présomptif d'Oued Beni Azza site 1 dans le mois de Avril 2024		34		
16				
17	Résultats des ASR dans la 4eme prélèvements d'Oued Beni Azza	36		
18	Souche 1 : Colonies de couleur Jaune orangé, larges, lisses, brillantes avec un aspect Œuf sur plat sur milieu héktoen.	37		

19	Souche 2 : Colonies de couleur jaune orange : Muqueuses, larges, bombées et luisantes sur héktoen	37
20	Souche 3 : colonies jaune saumon à centre noir sur Hkteen	37
21	Souche 4 : colonies muqueuses, lisse et bombés	37
22	Souche 5 : colonies vertes et muqueuse sur cétrimide	37
23	Absence des colonies d'espèce Vibrio cholera	41
24	Absence des colonies du genre salmonella	41
25	Résultats de l'étude de 1 antibiorésistance des souches d'Escherichia coli	42
26	Zone d'inhibition d'une souche <i>d'Escherichia coli</i> par les antibiotique testés (Photo originale, 2024)	43
27	Résultats de l'étude de l'antibiorésistance des souches de <i>Klebsiella</i> pneumeniae	43
28	Zone d'inhibition d'une souche Klebsiella pneumeniae par les antibiotique testés (Photo originale, 2024)	44
29	Résultats de l'étude de l'antibiorésistance des souches de Citrebacter freundii	44
30	Zone d'inhibition d'une souche <i>Citrobacter freundii</i> par les antibiotique testés	45
31	Résultats de l'étude de l'antibiorésistance des souches de <i>Klebsiella</i> oxytoca	45
32	Zone d'inhibition d'une souche <i>Klebsiella oxytoca</i> par les antibiotique testés (Photo originale, 2024)	46
33	Résultats de l'étude de l'antibiorésistance des souches de <i>Pseudomonas</i> aeruginosa	47
34	Zone d'inhibition d'une souche <i>Pseudomonas aeruginosa</i> par les antibiotique testés (Photo originale, 2024)	48

#### Listes des abréviations

**AMC**: Amoxicilline + Acide clavulanique

**AX**: Amoxicilline

AK: Amikacine

**ATM**: Aztréonam

**AMP**: Ampicilline

BCPL: Bouillon lactosè au pourpre de bromocrèsol

**BGN**: Bacilles Gram Négatif

**BGT**: Bouillon glucosé tamponné

C: Chloramphénicol

**CAZ**: Ceftazidime

**CCA**: La gélose chromogène pour bactéries coliformes

**CE**: Conductivité électrique

**CF**: Coliformes Fécaux

CIP: Ciprofloxacine

**COT**: Cetrimoxazole

CTX: Céfotaxime

**CT**: Coliformes Totaux

CZ: Céfazoline

**D/C**: Double Concentration

**EPA**: Eau Peptonè Alcaline

**EBLSE**: Les entérobactéries productrices de bêta-lactamases à spectre élargi

ETP: Ertapénème

FEP: Céfépime

FOX: Cèfoxitine

**GEN**: Gentamicine

**GNAP**: Nombre le plus probable

**H2O2**: Peroxyde d'Hydrogène

IMP: L'imipénèm

LE: Levofloxacine

MF: Mac Farland

MTH: Maladies à Transmission Hydrique

**MH**: Mueller-Hinton

**NA**: Acide nalidixique

**ONA**: L'office National de l'Assainissement

**OMS**: Organisation Mondiale de la santé

PRL: Pipèracilline

S/C: Simple Concentration

SFB: Bouillon sélénite -cystéine

**SARM**: Staphylococcus aureus Résistant à la Méticilline

**TCC**: Ticarcilline + Acide clavulinique

TI: Ticarcilline

**TOB**: Tobramycine

UFC: Unité formant colonie

VF: Viande Foie

#### Résumé

Notre étude a pour objectif d'évaluer la qualité des eaux de deux oueds (Chiffa et Beni Azza) situés à la willaya de Blida.

Un total de seize échantillons d'eau a été prélevé à partir de deux sites dans chaque oued. Les analyses physico-chimiques effectuées sont les suivantes : la température, le pH, la conductivité électrique et l'oxygène dissous, les résultats indiquent que la qualité de l'eau des deux oueds varie de bonne à moyenne.

L'étude bactériologique a montré la présence des bactéries indicatrice de contamination fécale ancienne d'origine animale plus importante dans l''oued de Beni Azza par rapport à Chiffa avec une absence totale des bactéries du genre *salmonella* et *Vibrio*, on a noté également la présence des Entérobactéries et des *Pseudomonas aeruginosa*, l'établissement du profil d'antibiorésistance a permis de déterminer une forte résistance des entérobactéries vis-à-vis la famille des bêta-lactamines. Concernant les souches de *Pseudomonas aeruginosa*, présentaient une résistance pour les antibiotiques Ticarcilline, Pépiracilline, Aztréoname et Imipénème.

Cette étude a également révélé la présence de divers champignons, notamment *Aspergillus niger*, *Aspergillus fumigatus*, *Aspergillus flavus*, *Fusarium* et *Candida albicans*.

Mots clés: Oued Chiffa, Oued Beni Azza, Qualité, Physicochimiques, Bactériologiques, Résistance

Abstract

The aim of our study is to assess the water quality of two wadis (Chiffa and Beni Azza)

located in the willaya of Blida.

A total of sixteen water samples were taken from two sites in each wadi, the following

physico-chemical analyses carried out: temperature, pH, electrical conductivity and dissolved

oxygen. The results indicate that the water quality of the two wadis varies from good to average.

The bacteriological study showed the presence of bacteria indicative of ancient faecal

contamination of animal origin to be greater in the Beni Azza wadi than in Chiffa, with a total

absence of bacteria of the Salmonella and Vibrio genera, but the presence of Enterobacteriaceae

and Pseudomonas aeruginosa was noted.

Antibiotic resistance profiling revealed a high level of resistance in enterobacteria to the

beta-lactam family. Pseudomonas aeruginosa strains showed resistance to the antibiotics

Ticarcillin, Pepiracillin, Aztreonam and Imopenem.

The study also revealed the presence of various fungi, including Aspergillus niger,

Aspergillus fumigatus, Aspergillus flavus, Fusarium and Candida albicans.

Key words: Oued Chiffa, Oued Beni Azza, Quality, Physicochemical, Bacteriological, Resistance

#### الملخص

الهدف من دراستنا هو تقييم نوعية المياه في واديين (الشفة وبني عزة) في ولاية البليدة

تم أخذ سنة عشر عينة مياه من موقعين في كل وادي، وتم إجراء التحاليل الفيزيائية الكيميائية التالية: درجة الحرارة، الأس الهيدروجيني، الموصلية الكهربائية والأكسجين المذاب. تشير النتائج إلى أن نوعية المياه في الواديين تتراوح بين الجيدة والمتوسطة.

أظهرت الدراسة البكتريولوجية وجود بكتيريا تدل على وجود تلوث برازي قديم من أصل حيواني أكبر في وادي بني عزة مقارنة بوادي الشفة، مع غياب تام لبكتيريا السالمونيلا والفيبريو، ولكن لوحظ وجود بعض البكتيريا المعوية المخمرة مثل الإشريكية القولونية والكلبسيلا الرئوية والستروباكتر فروندي وبكتيريا غير مخمرة (الزائفة الزنجارية), كشف تحديد خصائص مقاومة المضادات الحيوية عن وجود مستوى عالٍ من المقاومة بين البكتيريا المعوية لعائلة البيتا لاكتام. أظهرت سلالات الزائفة الزنجارية الزنجارية مقاومة للمضادات الحيوية تيكار سيلين وبيبير اسيلين وأز ترونام وإيموبينيم.

كما كشفت هذه الدراسة أيضًا عن وجود فطريات مختلفة، لا سيما فطر أسبر جيلوس نيجر وأسبر جيلوس فوميغاتوس وأسبر جيلوس فوميغاتوس وأسبر جيلوس فلافوس وفوز اريوم ومبيضات البوكان.

ا**لكلمات المفتاحية** : وادي الشفة، وادي بني عزة، الجودة، الفيزيائية الكيميائية، البكتريولوجية، المقاومة

## Table des matières

Remerciements
Dédicaces
Liste des tableaux
Liste des figures
Liste des abréviations
Résumé
Abstract
ملخص
Page
INTRODUCTION
SYNTHESE BIBLIOGRAPHIQUE
CHAPITRE I : I. GENERALITE SUR LES EAUX
I.1 Généralité sur les eaux de surface
I .1.1 Définition des eaux de oueds
I.2 Pollution
I.2.1 L'origine de la pollution
I.2.2 Impact et conséquences de la pollution de oueds
I.3 Qualité physique des eaux d'oued
CHAPITRE II : CARACTERISTIQUES MICROBIOLOGIQUES DES
EAUX OUEDS
II.1 Germes indicateurs de contamination fécales
II.2 Bactéries pathogènes9
II 3 Championons aquatiques

CHAPITRE III: RESISTANCE AUX ANTIBIOTIQUES ET
CONTAMINATION DES EAUX PAR LES BACTERIES MULTIRESISTANTES

CONTAMINATION DES EAUX PAR LES BACTERIES MULTIRESISTANTES	
III.1 Résistance aux antibiotiques.	12
III.2 Types de l'antibiorésistance	12
III.3 Contamination des eaux par les bactéries multirésistances	13
PARTIE EXPERIMENTALE	
MATERIEL ET METHODES	
I.1 Matériel	14
I.2 Méthodes	14
I.2.1 Localisation géographique des deux oueds Chiffa et Beni Azza	14
I.2.2 Technique de prélèvements et d'analyses	15
I.2.3 Transport et conservation des échantillons	16
I.3 Méthode d'analyse physico-chimique	16
I.3.1 La température	16
I.3.2 Potentiel d'hydrogène (pH)	16
I.3.3 Conductivité Électrique	17
I.3.4 Oxygène dissous	17
I.4 Méthode d'analyse microbiologique	17
I.4.1 Recherche et dénombrement des bactéries indicatrices de contamination fécale	17
♣ Recherche et dénombrement des Coliformes	17
♣ Recherche et dénombrement des Streptocoques fécaux	18
♣ Recherche et dénombrement des spores des Anaérobies Sulfito – Réducteurs	19
I.4.2 Recherche des Salmonelles et vibrions cholériques	20

I.4.5 Recherche des *Pseudomonas aeruginosa*......22

I.5.1 Teste de catalase	22
I.5.2 Teste d'oxydase	23
I.6 Identification biochimique des bactéries.	.23
I.6.1 Galerie biochimique miniaturisé (Api 20E).	.23
I.6.2 Galerie Api 20NE	23
I.7 Recherche des champignons	.24
I.8 L'antibiogramme standard en milieu gélosé : méthode des disques	25
RESULTATS ET DISCUSSION	
II RESULTATS ET DISCUSSION	.26
II.1 RESULTATS DES ANALYSES PHYSICOCHIMIQUE	.26
II.1.1 La température	.26
II.1.2 Potentiel Hydrogène (pH).	.27
II.1.3 Conductivité Électrique (CE)	.28
II.1.4 L'oxygène dissous.	29
II.2 RESULTATS DES ANALYSES MICROBIOLOGIQUE	.30
II.2.2 Recherche et dénombrement des germes de contamination fécale	.30
1.Recherche et dénombrement des coliformes	.30
♣ Les coliformes totaux (CT)	30
♣ Les coliformes fécaux (CF)	.31
2. Recherche et dénombrement des Streptocoques fécaux (SF)	33
Origine de contamination	34
3. Recherche et dénombrement des spores des bactéries anaérobies sulfito-réducteurs (ASR)	35
II.2.3 Identification des colonies bactériennes	36
♣ Tests d'orientation rapide	37
> Tests de catalase et d'oxydase	37
♣ Identification biochimique	38

II.2	.2.4 Distribution des bactéries pathogènes selon l'oued et le site	39
II.2	.2.5 Résultats des champignons	41
4	Isolement	41
4	Identification fongique	42
II.2	.2.6 Profil d'antibiorésistance	42
1.	Les entérobactéries	42
	> Escherichia coli	42
	> Klebsiella pneumoniae	43
	> Citrobacter freundii	44
	> Klebsiella oxytoca	45
2.	Pseudomonas aeruginosa	47
Co	onclusion	49
Ré	éférences bibliographiques	
An	nnexes	

# Introduction

L'eau est un élément indispensable pour la vie et pour le développement socioéconomique réel et durable d'un pays (Belghiti et al.,2013).

Les écosystèmes aquatiques sont le siège de phénomènes chimiques, physiques et biologiques, et apparaissent comme une source limitée et fragile menacée par les atteintes à l'environnement. Ils occupent donc une place primordiale sur notre planète, Ils jouent des rôles essentiels dans la conservation de la biodiversité, dans le fonctionnement des organismes et dans le cycle de matière organique (Oertli et al.,2013).

La qualité des eaux dans le monde a connu ces dernières années une grande détérioration, à cause des rejets industriels non contrôlés, l'utilisation intensive des engrais chimiques dans l'agriculture ainsi que l'exploitation désordonnée des ressources. Les activités agricoles, minières et industrielles de l'homme moderne génèrent des déchets chargés en éléments polluants. L'accumulation de ces éléments dans les formations superficielles en teneurs élevées, entraine automatiquement grâce aux phénomènes qui accompagnent l'infiltration des eaux de pluie et superficielles (Reggam et al.,2015).

Les Oueds de Blida sont devenus des véritables dépotoirs surtout oued Chiffa et Beni Azza, en ce sens ils charrient toutes sortes de rejets liquides et solides. Ceci a eu pour incidence une dégradation de la qualité des eaux (Benkaid et H.,2021).

Le problème de la pollution des eaux représente sans aucun doute un des aspects les plus inquiétants de la crise globale de l'environnement. En effet à la différence de divers phénomènes de pollution qui ne constituants qu'une menace potentielle susceptible d'affecter à l'avenir les activités humaines, la crise de l'eau sévit déjà depuis longtemps et avec une gravité sans cesse accru, affectant aussi bien les pays industrialisés que ceux de Tiers-Monde (Nguefack et al.,2018).

La dégradation de la qualité des milieux aquatiques, l'explosion démographique et l'urbanisation anarchique, ont favorisé depuis les années 1980, l'éclosion de multiples foyers de maladies à transmission hydrique qui déterminent souvent d'importantes flambées épidémiques estivo-autonales. (Gueye et *al.*,2023).

La pollution de l'eau peut exercer des effets différés dans le temps et lointains dans l'espace, induisant ainsi une nuisance pour les écosystèmes aquatiques (Anctil,2016).

L'OMS (2014) estime que l'eau sale est à l'origine de 9,1% des maladies et de 6% des décès enregistrés chaque année dans le monde.

Face à ce constat alarmant, il est crucial d'agir. Le contrôle de la qualité de l'eau est indispensable pour protéger la santé publique et préserver l'environnement (**Aouissi**, **2010**). C'est dans ce cadre que notre étude s'inscrit, en proposant une analyse approfondie de la pollution bactérienne dans les eaux des oueds Chiffa et Beni Azza, dans la wilaya de Blida.

L'objectif de cette étude est de :

- Évaluer la qualité physico-chimique
- Évaluer la qualité bactériologique par détermination de degré de leur contamination fécale.
- Rechercher et identifier le maximum des souches bactériennes présentes dans ces eaux.
- Étudier la résistance aux antibiotiques des souches isolées afin de déterminer la présence ou non des bactéries antibiorésistantes.
- Rechercher et identification des champignons aquatiques



#### I. GENERALITE SUR LES EAUX

#### I.1 Généralité sur les eaux de surface

La Terre est souvent appelée la "planète bleue" en raison de sa couverture d'eau qui représente 71% de sa surface. Malgré son caractère ordinaire, l'eau est inodore, incolore et insipide (**Tridi, 2020**).

Toute l'eau sur terre se divise essentiellement en deux catégories, la majeure partie est représentée par des eaux salées (97%), tandis que seulement (3%) des ressources sont des eaux douces. Plus des deux tiers de ces derniers existent sous forme de glace dans les glaciers et les calottes polaires (Belhadj, 2017).

Les eaux continentales de surface sont divisées par les chercheurs en deux grandes familles, d'une part les eaux courantes, d'autre part les eaux stagnantes (**Dussart**, 1992, **Angelier**, 2000) selon :

#### Le degré de modification :

- Eaux de surface naturelles : issues naturellement de la terre, sans intervention humaine.
- Eaux de surface artificielles : créées par l'homme, telles que les plans d'eau artificiels.
- Eaux de surface modifiées: résultant de modifications des sources naturelles d'eau, telles que des changements dans le cours des rivières pour le transport de l'eau ou des altérations dues à des activités humaines telles que la pollution ou la diminution du niveau des eaux (Antoine Decrouy, 2022).

#### Leur mouvement :

- **Eaux lentiques :** statiques, sans mouvement apparent, telles que les lacs.
- Eaux lotiques: dynamiques, avec une direction de flux, comme la rivière (Antoine Decrouy, 2022).

#### I.1.1 Définition des eaux de oueds

Les eaux d'oueds sont celles qui circulent ou sont stockées à la surface des continents. Ces eaux se distinguent par une surface d'échange eau-atmosphère presque immobile, une

profondeur parfois importante et un temps de séjour significatif. Elles sont souvent utilisées dans les régions à forte densité de population ou très industrialisées (Ayachi et al., 2019).

Leur composition chimique est influencée par la nature des terrains traversés tout au long de leur parcours dans les bassins versants. Au fil du cheminement, l'eau dissout les différents éléments constitutifs des terrains. De plus, grâce aux échanges à la surface entre l'eau et l'atmosphère, ainsi qu'à l'activité métabolique des organismes aquatiques, l'eau se charge en gaz dissous tels que l'oxygène, l'azote et le dioxyde de carbone. En conséquence, leur qualité peut varier selon les régions et les saisons (Sari, 2014). Effectivement, peuvent transporter des microorganismes et des polluants chimiques (Festy et al., 2003), ce qui rend rarement ces eaux potables sans aucun traitement. Il est nécessaire de les filtrer, désinfecter et surveiller correctement pour garantir leur sécurité (Khettaf, 2018).

#### I.2 Pollution

La pollution se définit comme la dégradation de l'environnement due à l'introduction de substances qui ne sont pas naturellement présentes dans l'air, l'eau ou le sol. Elle perturbe les écosystèmes et peut entraîner la migration ou l'extinction de certaines espèces incapables de s'adapter aux changements. La pollution de l'eau englobe toute altération chimique, physique ou biologique de sa qualité ayant un impact néfaste sur les organismes qui en dépendent. (Chekirou et al., 2017).

#### I.2.1 Origine de la pollution des eaux

**Tableau I :** Différentes origines possibles de pollution des eaux

L'origine de la pollution			
Pollution Agricole	-Des produits chimiques tels que les pesticides, les insecticides, le		
	désherbant, des engrais azotés.		
	-Les déchets issus de l'élevage et les engrais minéraux (Benayache,		
	2014).		
Pollution	-Germes fécaux, fortes teneurs en matières organiques.		
Domestique	Domestique - Sels minéraux tels que l'azote et le phosphore, détergents (Gaujous		
	1995).		

Tableau I : Différentes origines possibles de pollution des eaux (suite)

Pollution	-Matière organique et graisses provenant de l'industrie agro-		
Industrielle	alimentaire		
	- Acides, bases et produits chimiques provenant des industries		
	chimiques		
	- Matières radioactives provenant des centrales nucléaires, des centres		
	de recherche		
	- Métaux lourds issus du traitement de surface et de la métallurgie		
	(Herbert, 2000).		
Pollution urbaine	-Une concentration élevée de particules minérales en suspension,		
	comme le sable, le gravier		
	- Une abondance de débris solides.		
	- Des niveaux élevés de substances toxiques et d'hydrocarbures		
	(Benchabane, 2015).		
Pollution liée au	-Éruption volcanique		
phénomène	-Un déversement sous-marin d'hydrocarbures,		
naturel	-Le contact avec des filons géologiques renfermant des métaux ou de		
	l'arsenic		
	-La présence de sources thermales minérales (Khattab et al., 2017).		
Pollution	-L'augmentation de la température de l'eau réduit la teneur en oxygène		
thermique	- Augmente la vitesse de réactivité ( <b>Touati laid, 2021</b> ).		

#### I.2.2 Impact et conséquences de la pollution des eaux d'oueds

La pollution et la contamination des eaux peuvent générer diverses conséquences :

- ✓ L'absence totale d'oxygène dans l'eau, avec des répercussions graves sur la vie aquatique (Mezerdi, 2020).
- ✓ L'exposition à des produits chimiques toxiques, tels que le plomb, le mercure et les pesticides (Mezerdi, 2020).

- ✓ Danger pour certaines espèces marines (Patrick TRIPLET, 2015).
- ✓ Bioconcentration (un phénomène d'absorption par les êtres vivants des substances naturellement présentes dans leur environnement ou introduites par la pollution) (Patrick TRIPLET, 2015).
- ✓ Maladie a transmission hydrique. Le terme maladie a transmission hydrique "MTH" englobe un large éventail de pathologies d'origine bactérienne, parasitaire ou virale, ayant en commun le mode de contamination : l'eau. Ce sont des maladies d'origine fécale, souvent épidémiques, caractérisées principalement par des symptômes digestifs tels que la diarrhée et les vomissements. Elles demeurent très répandues et représentent toujours une menace dans les pays pauvres, avec un taux de mortalité particulièrement élevé, notamment parmi les jeunes enfants (Adam, G, 2014).

#### I.3 Qualité physico-chimiques des eaux d'oueds

La qualité des eaux de surface est caractérisée par les diverses substances qu'elles contiennent, leur quantité et leur effet sur les écosystèmes aquatiques et la santé humaine. Ces substances peuvent être soit d'origine naturelle, soit découler de la présence humaine (eaux usées) ou des activités industrielles et agricoles (**Oumhani**, et *al.*,2023).

La qualité physico-chimique des eaux des oueds est menacée par plusieurs facteurs, notamment les rejets domestiques et industriels, les activités agricoles et l'urbanisation. (Benabdallah et *al.*, 2023)

**Tableau II :** Les paramètres physicochimiques influençant la qualité des eaux d'oueds

Paramètres physicochimiques		
Température	•	Facteur écologique primordial pour les écosystèmes
		aquatiques.
	•	Agit directement sur le phénomène d'évapotranspiration et par
		conséquent le déficit d'écoulement annuel et saisonnier.
	•	Elle dépend de l'obscurité, de l'altitude, de l'exposition et de la
		présence d'une grande masse. (Reggam, 2015)

Tableau II : Les paramètres physicochimiques influençant la qualité des eaux d'oueds (suite)

Potentiel d'hydrogène	•	Influence la biodisponibilité des ions métalliques dissous dans	
		l'eau.	
	•	Un pH bas peut les rendre plus solubles et donc plus toxiques	
		pour les organismes aquatiques. À l'inverse, un pH élevé peut	
		les rendre moins solubles et donc moins assimilables.	
	•	Le pH joue un rôle important dans l'épuration d'un effluent et	
		le développement bactérien. La nitrification optimale ne se fait	
		qu'à des valeurs de pH comprises entre 7.5 et 9 (Métahri,	
		2012).	
Turbidité	•	La turbidité d'une eau est due à la présence des particules en	
		suspension, notamment colloïdales : argiles, limons, grains de	
		silice, matières organiques. Celle-ci sera d'autant plus faible	
		que le traitement de l'eau aura été plus efficace (Ghazali D et	
		Zaid A, 2013).	
La conductivité	•	La propriété que possède une eau à favoriser le passage d'un	
		courant électrique. Elle fournit une indication précise sur la	
		teneur en sels dissous ( <b>Métahri, 2012</b> ).	
Oxygène dissous	•	Dans les eaux de surface, l'oxygène dissous provient	
		essentiellement de l'atmosphère et de l'activité	
		photosynthétique des algues et des plantes aquatiques, varie de	
		manière journalière et saisonnière car elle dépend de	
		nombreux facteurs tels que la pression partielle en oxygène de	
		l'atmosphère, la température de l'eau, la salinité, la pénétration	
		de la lumière, l'agitation de l'eau et la disponibilité en	
		nutriments.	
	•	Une faible teneur en oxygène dissous provoque une	
		augmentation de la solubilité des éléments toxiques qui se	
		libèrent des sédiments (Rodier et al., 2009).	

#### II. CARACTERISTIQUES MICROBIOLOGIQUES DES EAUX OUEDS

#### II.1 Germes indicateurs de contamination fécales

#### Coliformes

Les coliformes sont définis comme des bactéries en forme de bacilles, à Gram négatif, aéroanaérobie facultatifs, non sporulées, qui fermentent le lactose avec production de gaz en 48 heures à 37°C. La plupart des coliformes appartiennent aux groupes des bactéries entériques qui comprennent : *Escherichia coli*, un habituel du tractus digestif, ainsi que *Klebsiella pneumoniae*, moins fréquent du tube digestif et pathogène (**Madigan et Martinko.,2007**).

On distingue deux groupes de coliformes : totaux et fécaux.

Tableau III : Caractéristiques des coliformes totaux et fécaux.

Coliformes fécaux (CF)
Appelés « coliformes thermotolérants »
Capable de produire l'indole à partir du
tryptophane à 44°C ( <b>DELARRAS</b> ,
2010).

#### • Streptocoques fécaux

Les *Streptococcus* ce sont des Cocci à Gram positif, sphériques ou ovoïdes, disposés en paires pour former des diplocoques et pouvant se présenter sous forme de chainettes parfois longues, ils ne sporulent pas (**Avril et** *al*, **1992**).

D'après Emmanuel ,2003 et Avril et al., 1992, le terme 'Streptocoques fécaux ' désigne les streptocoques ubiquistes généralement présents dans les fèces de l'homme et des animaux et qui

sont à l'origine de contamination des eaux et des aliments. Du point de vue taxonomique, ils appartiennent aux genres *Enterococcus* et *Streptococcus*.

#### Bactéries anaérobies sulfito-réducteurs

Les bactéries anaérobies sulfito-réductrices (ASR) sont des bacilles Gram positifs, strictement anaérobies et sporulés, se développant en 24 à 48 heures sur une gélose Viande Foie (VF) en donnant des colonies typiques réduisant du sulfite de sodium (Na2SO3), qui se trouve dans le milieu, en sulfure qui en présence de Fe+2 qui donne FeS (sulfure de fer) de couleur noir. Les spores des ASR constituent généralement des indices de contamination ancienne (Labres et al., 2006). Elles sont responsables des maladies graves telles que le botulisme et le tétanos, c'est pour cette raison la recherche de ces derniers est essentielle dans le cadre de la détermination qualitative de l'eau (Rejsek, 2002).

#### II.2 Bactéries pathogènes

**Tableau IV**: Les principaux bactéries pathogènes.

Salmonelles	Les Salmonella famille des <i>Enterobacteriaceae</i> sont des
	bactéries à Gram négatif, anaérobies facultatifs
	Les Salmonella possèdent toutes les caractéristiques
	biochimiques, la fermentation du glucose et la production
	d'enzymes spécifiques.
	Elles sont généralement mobiles grâce à leurs flagelles péri
	triches (A Brisabois et al.,1997).
Genre vibrio	Bacilles Gram négatif, généralement isolés, droits ou incurvés,
	parfois cocobacillaires.
	■ 1,5 à 3,0 Um.
	Mobiles par ciliature polaire, principalement monotriche.
	■ Métabolisme oxydo-fermentatif, fermentation du glucose sans
	gaz.
	■ Majorité des souches oxydase positive (Plesiomonas, 2016).

Tableau IV: Les principaux bactéries pathogènes (suite).

Pseudomonas aeruginosa	Bacille à Gram négatif
	Aérobie stricte
	Métabolisme oxydatif
	<ul> <li>Ubiquitaire dans l'environnement</li> </ul>
	Saprophyte de l'eau, des sols humides et des végétaux
	(Floret et al., 2009).
	P. aeruginosa dénommé aussi « pyocyanique » est un bacille
	pigmenté (typiquement vert fluorescent grâce à deux pigments la
	pyoverdine et la pyocyanine;
	Dimensions : 1 à 3 μm de longueur et 0,5 à 1 μm de largeur
	■ Mobile grâce à un flagelle polaire (Morand et Morand., 2017).
Les Enterobacteriaceae	Bacilles à gram négatif
	Plus souvent courts (1à6 um).
	<ul><li>Droits</li></ul>
	Immobiles ou mobile par une ciliature péritriche
	Culture aisée
	<ul> <li>Aéro-anaérobies facultatifs.</li> </ul>
	■ Fermentaires
	Oxydase négative
	Catalase positive (à l'exception de Shigella dysenteriae type 1)
	Nitrate réductase positive (rare exception chez Erwinia)
	Les Entérobactéries sont responsables de deux grands types de
	manifestation pathologie : une pathologie spécifique ou une
	pathologie opportuniste (Klebsiella, M et al., 2016).

#### II.3 Champignons aquatiques

Les champignons aquatiques trouvés dans un oued sont souvent microscopiques et unicellulaires, formant l'hydromycoflore. Les principaux groupes de champignons aquatiques

rencontrés sont les chytrides, les ascomycètes et les basidiomycètes (**Czeczuga**, 1995). Deux groupes sont créés, le premier est représenté par les champignons marins dits obligatoires qui se développent, sporulent et se reproduisent uniquement dans un milieu marin, et le second, représenté par les champignons marins dits facultatifs, d'origine terrestre ou d'eau douce, qui sont capables de se développer, voire de sporuler en milieu marin. (**Jones et** *al.*,2015).

Le nombre estimé de champignons marins dépasse les 10000 espèces (**Jones**, **2011**). De façon plus générale, de nombreux champignons présents dans les océans se retrouvent également dans des environnements terrestres, par exemple *Fusarium*, *Aspergillus*, *Trichoderma* ou *Penicillium* (**Amend et** *al.*, **2019**).

# III. RESISTANCE AUX ANTIBIOTIQUES ET CONTAMINATION DES EAUX PAR LES BACTERIES MULTIRESISTANTES

#### III.1 Résistance aux antibiotiques

La résistance aux antibiotiques est un problème universel observé pour toutes les espèces bactériennes rencontrées chez l'Homme et lié à leur inéluctable évolution (**Lesne**, **J.**, et Baron, **S. 2022**).

Selon la définition microbiologique, une souche est dite résistante lorsqu'elle se cultive en présence de concentration plus élevée en antibiotique comparativement à d'autres souches qui lui sont phylogénétiquement liées. Selon la définition clinique, une souche est qualifiée de résistante lorsqu'elle survit à la thérapie antibiotique mise en place (Muylaert, A., et Mainil, J. 2013).

De plus, ont observé l'apparition de multirésistances, ce qui signifiait qu'une bactérie pouvait être résistante à plusieurs familles d'antibiotiques en même temps. (Sanders, P. et al. 2011)

#### III.2 Types de l'antibiorésistance

#### • Resistance naturelle :

On parle de résistance naturelle lorsque toutes les souches d'une même espèce bactérienne sont résistantes à un antibiotique donné. Il s'agit en fait de bactéries qui sont insensibles au mode d'action de l'antibiotique et correspond à un ou plusieurs mécanismes de résistance innés, héréditaires et transmissibles (François Denis et al.,2011).

#### • Resistance acquise :

La résistance acquise se produit lorsqu'une ou plusieurs souches d'une espèce bactérienne, initialement sensible à un antibiotique, développent une résistance. Cette adaptation est souvent durable (Baudry, Brezellec, 2006).

Les mécanismes de cette adaptation peuvent résider dans des mutations génétiques de la bactérie ou dans l'acquisition d'un "plasmide", un élément génétique transportant des gènes de résistance provenant d'autres bactéries. Cette dernière forme de résistance acquise est la plus fréquente, représentant plus de 80% des cas (Sylvie, 2009).

#### III.3 Contamination des eaux par les bactéries multirésistances

L'environnement aquatique est un vecteur naturel efficace de dissémination des bactéries résistantes aux antibiotiques, donc est un réservoir favorise le phénomène d'antibiorésistance et la diffusion des bactéries et l'échange de leurs gènes de résistance entre espèces différentes (Berthe, 2003).

Plusieurs études ont confirmé la présence de bactéries résistantes à plusieurs antibiotiques dans les écosystèmes aquatiques ; dans le cadre du programme Seine-aval, il a déjà été montré la présence d'*E. coli* multirésistantes aux antibiotiques dans les eaux de l'estuaire de la Seine (Koenraad et *al.*,1994)

Dans les années 1990, la grande majorité des bactéries multirésistantes aux antibiotiques était représentée par les *Staphylococcus aureus* résistants à la méticilline (SARM) et les entérobactéries (essentiellement appartenant à l'espèce *Klebsiella pneumoniae*) productrices de β-lactamases à spectre étendu (EBLSE) (**Drieux-Rouzet et Jarlier, 2014**)

Dans des eaux potables, **Leclerc** *et al.*, **1996**, montrent dans le Pas-de-Calais que 100% des *Aeromonas hydrophila* et 88% des *Klebsiella pneumoniae* résistent à l'ampicilline.

# Partie expérimentale

# Matériel et méthode

Cette étude a été réalisée au niveau du laboratoire d'hygiène de la wilaya de Blida et l'Office National de l'Assainissement (l'ONA) durant une période allant de la fin de février jusqu'au 6 Mai 2024. 16 échantillons d'eau d'oued ont été réalisés (Chiffa et Beni Azza).

#### I.1 Matériel

#### a) Matériel biologique

- Souches de références
- Souches bactériennes et fongiques provenant des prélèvements

#### b) Matériel non biologique

• Représenté par les verreries, les flacons, les tubes et les milieux de cultures (Annex I)

#### I.2 Méthodes

#### I.2.1 Localisation géographique des deux oueds Chiffa et Beni Azza

#### A. Oued Chiffa

Oued Chiffa est localisé dans les montagnes de Tamezguida a environ 2 km de la ville d'El Hamdania, est non loin de la route nationale N°01, prend sa source à environ 500m d'altitude dans les Monts de Médéa, et coule au fond des gorges de la Chiffa. Ces dernières sont entaillées dans l'Atlas Blidéen entre le massif de Blida et le massif de Mouzaia (**Arab** *al.*, **2004**) (Figure 1et 2).

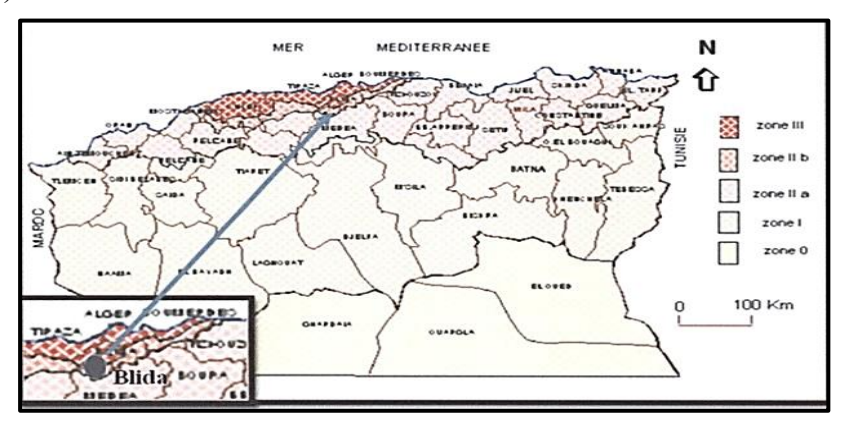


Figure 01 : Présentation de la zone d'étude (G.G.S.,2003).

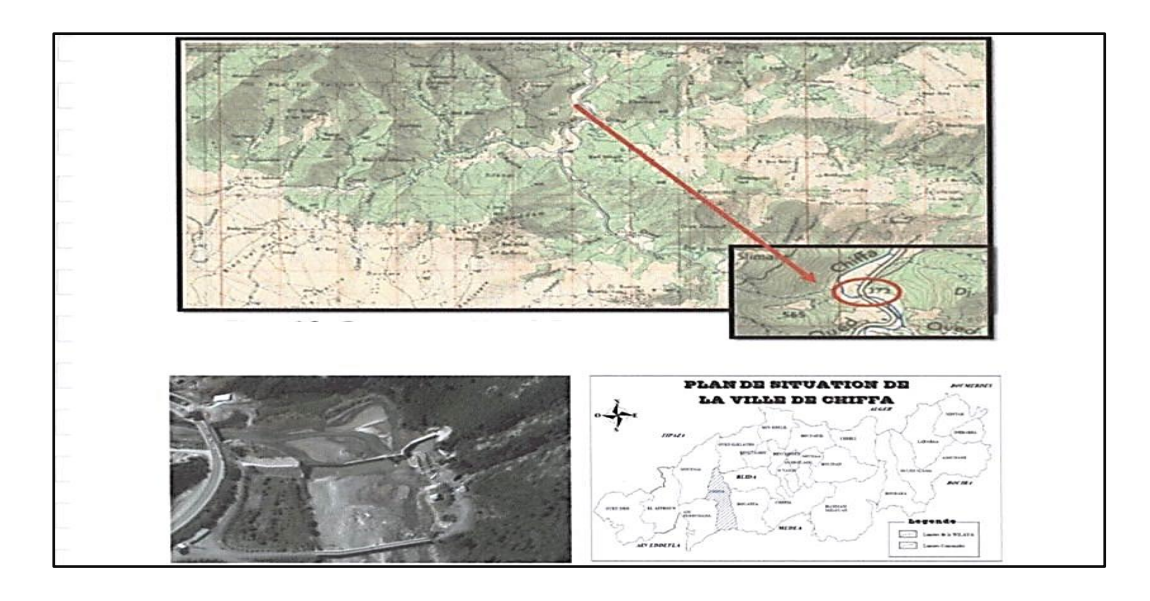


Figure 02 : Carte topographique de la zone d'étude : localisation et vue satellitaire

#### B. Oued Beni Azza

Oued Beni Azza se situe au nord de l'Algérie dans la wilaya de Blida. Il prend naissance sur les hauteurs de Chréa et traverse la wilaya de Blida au niveau des communes d'Ouled Yaich et de Beni Mered puis celle d'Ouled Alleug. Il se réunit avec l'oued Mazafran au niveau du lieu Magtaa Kheira et se déverse dans la mer Méditerranée après un parcours de 33,8 km (BENGHERBIA et *al.*,2014).

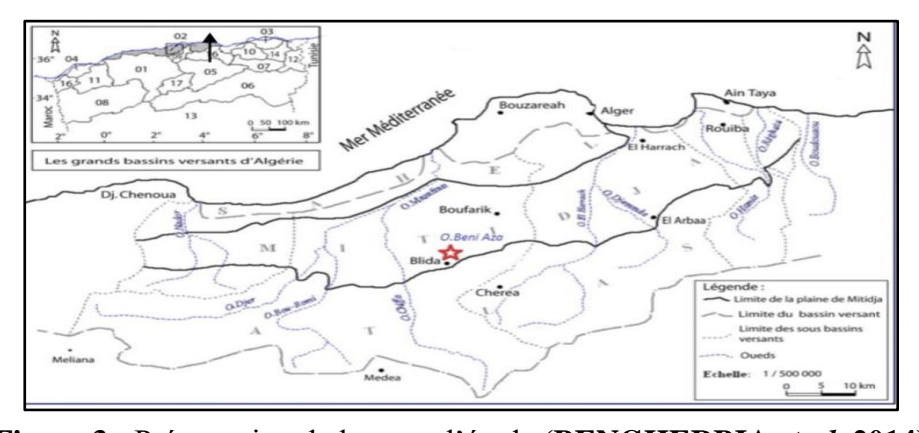


Figure 3 : Présentation de la zone d'étude (BENGHERBIA et al.,2014).

#### I.2.2 Technique de prélèvements et d'analyses

#### A. Mode de prélèvement

Au total, quatre prélèvements bimensuels d'une fréquence de 2 échantillons par site (oueds) ont été effectués.

Pour les analyses microbiologiques, des flacons en verre de 250ml (250 ml x4) stérilisés préalablement dans l'autoclave à 121°C puis bouchés pour une protection totale contre toute contamination ont été utilisées.

Dans les deux stations des deux Oueds, les flacons sont immergés en position vertical en le tenant par le fond, l'ouverture doit être légèrement plus haute que le fond et dirigé dans le sens contraire du courant. La température a été mesurée par le thermomètre in situ.

#### I.2.3 Transport et conservation des échantillons

Le transport des échantillons été effectué dans une glacière dont la température doit être comprise entre 4 à 6°C dans un délai ne dépassant pas 8 heures.

#### I.3 Méthodes d'analyse physico-chimiques

#### I.3.1 La température

La température de l'eau est un facteur écologique très important qui régit pratiquement la totalité des réactions physiques, chimiques et biologiques (**Boulaksaa et Laifa, 2020**). Dans cette étude, la température été mesurée in situ en utilisant un thermomètre (marque : Suavinex).

#### I.3.2 Potentiel d'hydrogène (pH)

Le pH est une mesure de l'acidité de l'eau, représentant la concentration en ions hydrogène (H<sub>3</sub>O<sup>+</sup>). L'échelle du pH va généralement de 0 (très acide) à 14 (très alcalin) (**Boulaksaa et Laifa, 2020).** 

#### **Mode opératoire**

- o Allumer le pH mètre (marque : HACH sensION PH31) ;
- o Rincer l'électrode avec de l'eau distillée ;
- o Prendre dans un petit bécher, la solution tampon pH=7;
- o Régler l'agitation a faible vitesse;
- o Tremper l'électrode de pH dans la solution tampon pH=7;
- o Laisser stabiliser un moment jusqu'à l'affichage du standard ;
- o Affichage des résultats.

### I.3.3 Conductivité Électrique (CE)

La conductivité représente l'un des moyens de valider les analyses physicochimiques de l'eau, (**Kouassi et** *al.*, **2011**).

#### **Mode opératoire**

- Allumer le conductimètre (marque : HACH HQ430d flexi) et rincer l'électrode avec de l'eau distillée;
- o Prendre dans un petit bécher, la solution de Léau analysé ;
- O Laisser stabiliser un moment jusqu'à affichage de la constante de cellule ;
- o Prendre environ 100 ml de l'eau analysé;
- o Tremper l'électrode avec les précautions habituelles dans le bécher ;
- o Laisser stabiliser un moment, puis noter la valeur de la conductivité affichée ;
- Affichage des résultats ;
- O Expression des résultats (Valeur de la conductivité électrique exprime par μs/cm.

#### I.3.4 Oxygène dissous :

L'oxygène dissous mesure la concentration du dioxygène dissous dans l'eau, La teneur en oxygène est une indication importante pour la qualité de l'eau. Une bonne concentration en oxygène est essentielle pour la vie des plantes et des animaux aquatiques. Généralement 3 à 6 mg/l d'oxygène dissous est la dose létale et la quantité idéale est la valeur la plus élevée possible, c'est-à-dire la valeur de saturation (Ayad et Kahoul, 2016).

#### **4** Mode opératoire :

- Allumer l'oxymètre (marque : HACH HQ430d flexi), et rincer l'électrode avec de l'eau distillée :
- O Puis prendre environ 100 ml d'eau à analyser;
- O Tremper l'électrode dans le bécher en a ;
- o Laisser stabiliser un moment puis lire la concentration en mg/l;
- o Affichage des résultats ;

#### I.4 Méthode d'analyse microbiologique

#### I.4.1 Recherche et dénombrement des bactéries indicatrices de contamination fécale

#### Recherche et dénombrement des Coliformes

La technique en milieu liquide fait appel à deux tests consécutifs à savoir :

• Test de présomption : réservé à la recherche des coliformes totaux.

A partir de l'eau à analyser, porter aseptiquement :

- 50 ml dans un flacon contenant 50 ml de milieu BCPL D/C muni d'une cloche de durham.
- 5 fois 10 ml dans 5 tubes contenant 10 ml de milieu BCPL D/C muni d'une cloche de durham
- 5 fois 1 ml dans 5 tubes contenant 10ml de milieu BCPL S/C muni d'une cloche de durham
- Chassez le gaz présent éventuellement dans les cloches de Durham et bien mélangé le milieu et l'inoculum.
- o **Incubation :** L'incubation se fait à 37°C pendant 24 à 48 heures.
- o Lecture : Sont considérés comme positifs présentant à la fois :
- Un dégagement gazeux (supérieur au 1/10 de la hauteur de la cloche)
- Un trouble microbien accompagné d'un virage du milieu au jaune (ce qui constitue le témoin de la fermentation de lactose présent dans le milieu)

Ces deux caractères étant témoin de la fermentation du lactose dans les conditions opératoires décrites. La lecture finale se fait selon les prescriptions de la table NPP.

■ Test de confirmation : encore appelé test de Mac Kenzie réservé à la recherche des coliformes fécaux à partir des tubes positifs du test de présomption. Ce test est basé sur la recherche de coliformes thermo-tolérants parmi lesquels on redoute surtout la présence d'Escherichia coli caractérisée par la production d'indole à partir du tryptophane à 44°C.

Les tubes de BCPL trouvés positifs lors du dénombrement de coliformes totaux feront l'objet d'un repiquage dans l'eau peptonée exempte d'indole ou du Schubert.

- o **Incubation :** L'incubation se fait cette fois ci dans l'étuve à 44°C pendant 24 heures.
- o Lecture : Sont considérés comme positifs, les tubes présentant à la fois.
- Un dégagement gazeux et un anneau rouge en surface témoin de la production d'indole par
   Escherichia coli après adjonction de 2 à 3 gouttes du réactif de Kovacs.

La lecture finale s'effectue également selon les prescriptions de la table NPP en tenant compte du fait qu'*Escherichia coli* est à la fois producteur de gaz et d'indole à 44°C.

#### Recherche et dénombrement des Streptocoques fécaux

Tout comme la méthode de recherche de coliformes en milieu liquide, celle de la recherche et le dénombrement des Streptocoques fécaux fait appel à deux tests consécutifs à savoir :

#### Test de présomption

A partir de l'eau à analyser, porter aseptiquement :

- 50 ml dans un flacon contenant 50 ml de milieu ROTHE D/C.
- 5 fois 10 ml dans 5tubes contenant 10 ml de milieu ROTHE D/C.
- 5 fois 1 ml dans 5 tubes contenant 10 ml de milieu ROTHE S/C.

Bien mélanger le milieu et l'inoculum.

- o **Incubation :** L'incubation se fait à 37°C pendant 24 à 48 heures
- o Lecture : Sont considérés comme positifs les tubes présentant un trouble microbien.

#### Test de confirmation

Le test de confirmation est basé sur la confirmation des Streptocoques fécaux éventuellement présents dans le test de présomption.

Les tubes de ROTHE trouvés positifs feront donc l'objet d'un repiquage dans des tubes contenant le milieu EVA-LITSKY.

Bien mélanger le milieu et l'inoculum.

- o **Incubation :** L'incubation se fait cette fois-ci à 37°C pendant 24 heures.
- o Lecture : Sont considérés comme positifs, les tubes présentant à la fois :
  - Trouble microbien
  - Pastille violette (blanchâtre) au Fond des tubes

La lecture finale s'effectue également selon les prescriptions de la table NPP qui figure en (annexe II).

# **♣** Recherche et dénombrement des spores des Anaérobies Sulfito – Réducteurs (ASR)

La recherche et le dénombrement des spores des ASR dans l'eau se fait par la méthode d'incorporation en gélose en tubes profonds (**Rodier**, **2009**).

- Agiter soigneusement l'eau à analyser.
- Répartir à l'aide d'une pipette graduée stérile 25 ml d'eau dans des tubes stériles à raison de 5 ml par tube.
- Porter les tubes au bain-marie à 80 °C, pendant 10 min.
- Refroidir immédiatement à l'eau du robinet.

- Faire préalablement fondre 250 ml du milieu viande-foie, ajouter après refroidissement 12,5 ml de la solution de sulfite de sodium à 5%, et 2,5 ml de la solution d'alun de fer à 5%, mélanger sans faire des bulles.
- Couler la gélose viande-foie sulfitée, dans chacun des tubes contenant l'eau traitée.
- Remplir et mélanger doucement sans incorporer d'air.
- Laisser solidifier sur la paillasse
- Incuber à 37°C avec une première lecture à 24h puis 48h et 72h.
- Les colonies entourées d'un halo noir sont comptées comme susceptibles de provenir de bactéries anaérobies sporulées sulfito-réductrices (Voir Annexe I).

#### I.4.4 Recherche des Salmonelles et Vibrions cholériques

#### **♣** Salmonelles

La recherche des Salmonelles est réalisée en 4 étapes

- 1. Enrichissement primaire : on introduit 50 ml de l'eau à analyser dans 100 ml de bouillon du sélénite cystéine D/C. La solution obtenue est appelée SFB, Elle est incubée à 37 °C pendant 18 à 24h.
- 2. Enrichissement secondaire et Isolement : la solution SFB, incubée la veille pour effectuer le 2eme enrichissement sur le bouillon selenite-cyateine en tubes (solution SFBII) à raison de 1ml par tube et un isolement sur gélose Héktoen. L'incubation est réalisée à 37°C pendant 18 à 24 h.
- 3. Enrichissement tertiaire et Isolement : à partir du bouillon SFBII isolé sur gélose HéctoenII, prendre 1ml de SFBg et l'introduire dans un bouillon sélénite-cystéine (SFBm). L'incubation se fait donc à 37 °C pendant 18 à 24h.
- 4. **Lecture** : Sur gélose héktoen colonie transparente à centre noire

#### **♣** Vibrions cholériques

Les bactéries de genre vibrion sont des bactéries rares dans l'environnement et de façon générale leur isolement se passe par un enrichissement afin d'augmenter la probabilité d'existence de la bactérie.

1. **Enrichissement** : A cet effet comme l'espèce Vibrio cholerae est une bactérie halotolérante et alcalinophile, ces caractères ont été utilisés pour la préparation de son

milieu d'enrichissement. Des échantillons d'eau ont été enrichis dans de l'eau peptonée alcaline hypersalée (à hauteur de 10% de l'échantillon) pendant 24h à 37 °C.

**2. Isolement et identification :** L'isolement a été effectué sur la gélose nutritive biliée alcaline (GNAB), puis incubés à 37°C pendant 24 heures.

**Examen macroscopique :** Sous forme de colonies rondes, transparentes, à bords réguliers (bris de verre) d'un diamètre de 2 mm

**Examen microscopique :** L'examen microscopique se termine par une coloration de Gram (**Annex II**), montrant les caractères morphologiques (Gram, bacilles fins incurvés)

#### I.4.5 Isolement des Entérobactéries

Avant l'ensemencement un enrichissement doit être réalisé sur le bouillon tamponné (BGT) incuber à 37°c/18 à 24h. Les boites de MacConckey et CCA sont ensemencées à l'aide d'une pipette pasteur stérile selon la méthode de quatre quadrants (Figure 4). Les boites seront incubées à 37°c/18 à 24h.

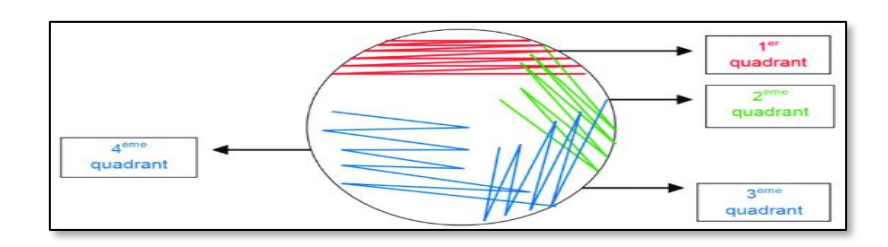


Figure 4: Technique d'ensemencement (Pierre Verlhac, 2019).

# **4** Aspect macroscopique

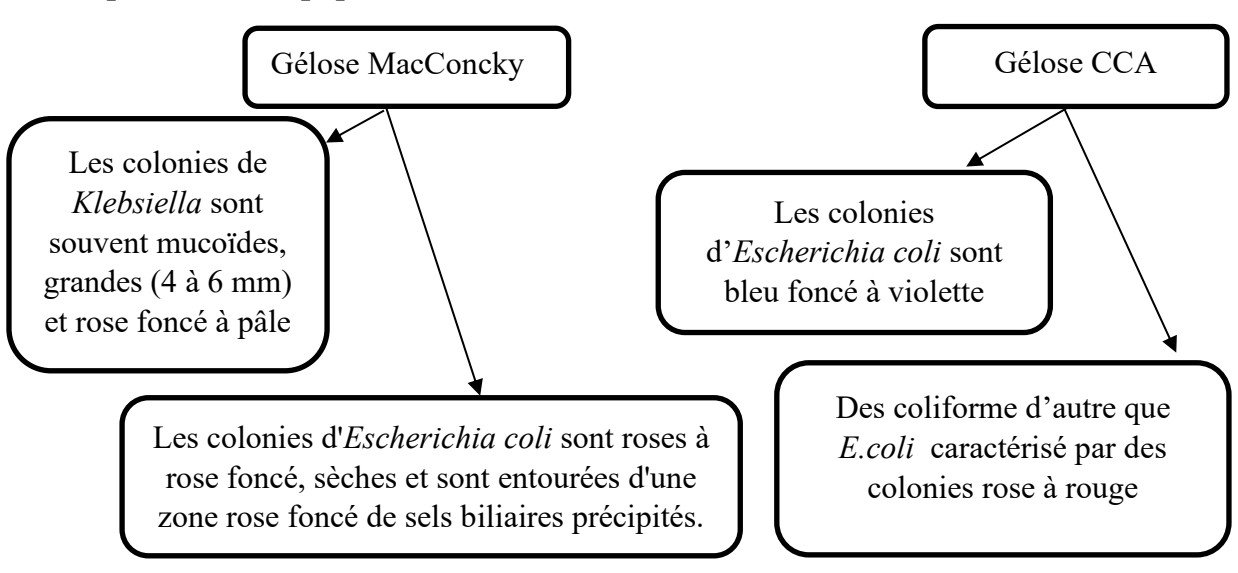


Figure 5: Aspect macroscopique des colonies

#### I.4.6 Recherche des Pseudomonas aeruginosa

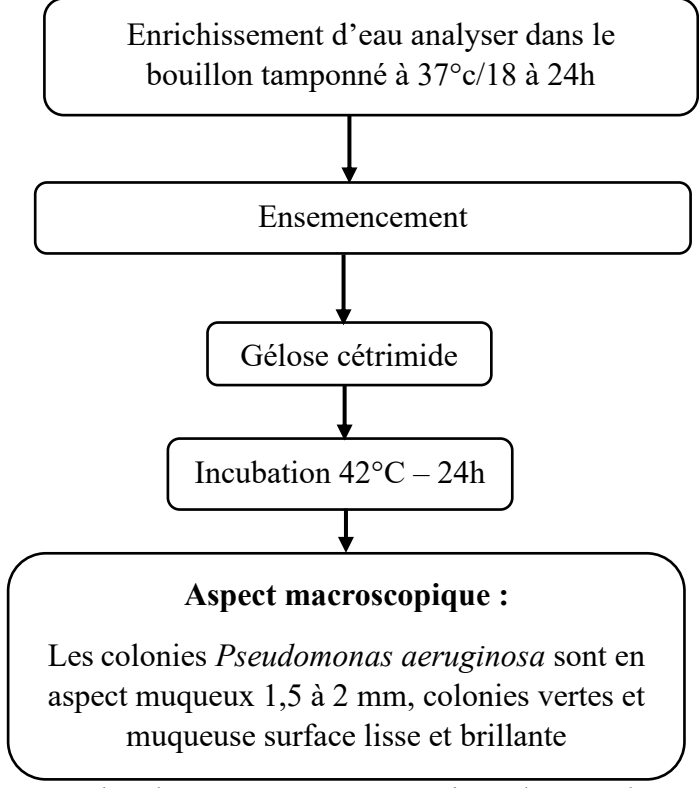


Figure 6 : Recherche et aspect macroscopique de Pseudomonas aeruginosa

#### I.5 Tests d'orientation rapide

#### I.5.1 Test de catalase

Pendant la respiration aérobie, certaines bactéries produisent du peroxyde d'hydrogène (H2O2), celui-ci est très toxique et certaines bactéries sont capables de le dégrader grâce à des enzymes qu'elles synthétisent (**Green et Goldman, 2021**).



Sur une lame propre on dépose, une à deux gouttes d'eau oxygénée, ensuite prendre une colonie isolée avec une pipette pasteur boutonnée et stérile et la déposer sur la lame.

o Lecture : Catalase + : dégagement de bulle d'O2

Catalase - : absence de bulle d'O2



Figure 7 : Résultat d'une catalase positive et négative (photo originale, 2024)

#### I.5.2 Test d'oxydase

Appelé aussi phénylène diamine oxydase est un enzyme intervenant dans divers couples d'oxydo-réduction. Ce test est à la base de l'identification des bactéries Gram (–).

Placer un disque d'oxydase sur une lame propre et stérile. Déposer à l'aide d'une pipette Pasteur une goutte de suspension bactérienne pure sur " un disque oxydase", celui-ci contient de l'oxalate de diméthyl paraphénylène diamine. Les bactéries oxydase-positives donnent rapidement une coloration violette foncée ; dans le cas contraire, il n'y a pas de coloration (BOUSSENA,2020).

#### I.6 Identification biochimique des bactéries

#### I.6.1 Galerie biochimique miniaturisé (Api 20E)

Api 20E est un système standardisé pour l'identification des *Entérobactérianceae* et autres bacilles à Gram négatif, comprenant 21 tests biochimiques miniaturisés.

La galerie Api 20E sera ensemencée en remplissant les microcupules par la suspension bactérienne à tester.

Pour les tests CIT, VP et GEL remplir tubes et cupules.

Pour les autres tests, remplir uniquement les tubes (et non les cupules).

Pour les tests : ADH, LDC, ODC, H2S, URE créer une anaérobiose en remplissant leur cupule d'huile de vaseline. Refermer la boite est incubée 24 heures à 37°C.

o Lecture : Voir Annex III

#### I.6.2 Galerie Api 20NE

Selon **BioMérieux**, API 20 NE est un système standardisé pour l'identification des bacilles à Gram négatif non entérobactéries et non fastidieux (ex : *Pseudomonas, Acinetobacter*,

*Flavobacterium, Moraxella, Vibrio, Aeromonas*, etc.) combinant 8 tests conventionnels, 12 tests d'assimilation, et une base de données (**Annex III**).

#### I.7 Recherche des champignons

Les champignons ont été isolé par la technique de râteau sur le Milieu Sabouraud + chloramphénicol sans actidione. Puis incuber à 25 C° pendant 3 à 5 jour.

#### o Examen macroscopique

- Couleur au recto et verso
- Aspect de la colonie : relief (plane ou surélevée, plissée), surface (poudreuse, granuleuse, duveteuse ou floconneuse).
- Vitesse de pousse.

#### o Examen microscopique

- Permet la mise en évidence de filaments mycéliens de "type aspergillaire", entre lame et lamelle (état frais ou après coloration par bleu lactique), les filaments mycéliens, apparaissent hyalins, cloisonnés, et parfois ramifiés.
- Rarement, des têtes aspergillaires peuvent être observées.

#### **\*** Test de filamentation (tube germinatif)

Après l'apparition du Candida sur le Milieu Sabouraud + chloramphénicol sans actidione, mettre une colonie dans un tube contient 0.5ml de plasma (sérum sanguin humain) et incuber 3h à 37°C.

À l'aide d'une pipette pasteur une goutte est observer au microscope, progressivement x40 ou x100, l'apparition d'un tube germinatif donc la présence du *Candida albicans* (Figure 26).



Figure 8: Méthodes d'identification du candida pathogènes (Benmezdad, 2015)

#### I.8 Antibiogramme standard en milieu gélosé : méthode des disques

Selon la CLSI, l'EUCAST et la standardisation Algérienne,2020, l'antibiogramme est un test in vitro, qui a pour but de mettre en évidence les effets des antibiotiques sur les bactéries isolées.

#### o Préparation de l'inoculum

- Prélever au moins trois colonies de la bactérie jeune et émulsionner dans 5 ml de l'eau physiologique stérile, hémogénie, la charge bactérienne est 0.5 MF.
- L'ensemencement se fait par la méthode de Kirby-Bauer par écouvillonnage.
- Plonger un écouvillon stérile dans la suspension bactérienne et laisser s'imbiber.
- Le sortir du tube en l'essorant doucement sur la paroi.
- Ensemencé sur toute la surface de la gélose MH par stries serrés en trois fois, en faisant tourné la boite de 60° à chaque fois afin d'assurer une distribution uniforme. Finir l'ensemencement en passant l'écouvillon sur la périphérie de la gélose afin d'éliminer l'excès d'humidité.
- Application des disques d'antibiotique sur la surface du milieu ensemencé stérilement à l'aide d'une pince préalablement flambée et en appliquant une légère pression lors du dépôt et ne pas déplacer une fois mis. Les disques sont généralement espacés de 2 à 3 cm.
- Incubation à 37°c pendant 18h.

#### Lecture

Pour chaque antibiotique mesurer le diamètre de la zone d'inhibition à l'aide d'un pied à coulisse ou une règle au revers de la gélose, et reporter cette mesure sur l'échelle de concordance correspondante et indiquer si la bactérie est sensible, intermédiaire ou résistante (**Annex IV**).

# Résultats et discussion

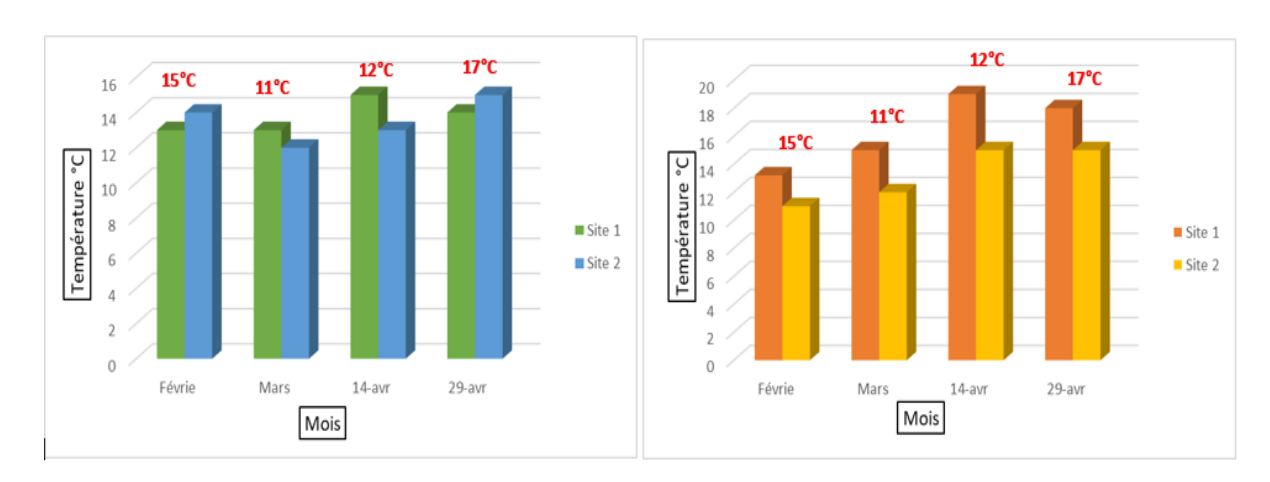
#### II RESULTATS ET DISCUSSION

Cette étude a été réalisée au niveau du laboratoire d'hygiène de la wilaya de Blida et l'Office National de l'Assainissement (l'ONA) durant une période de 3 mois ; allant du février jusqu'au 6 Mai 2024. 16 échantillons ont été réalisés dans deux oueds (Chiffa et Beni Azza) à partir de deux sites à raison de 4 prélèvements par oued et site.

#### II.1 RESULTATS DES ANALYSES PHYSICOCHIMIQUE

#### II.1.1 La température

Les résultats montrent dans l'eau d'oued chiffa, la température maximale enregistrée est 15 °C au niveau du site 1 et 2 pendant le mois d'Avril, le minimale est noté pour le site 1 et 2 avec une valeur de 13°C pendant les mois de Février, Mars et Avril. Et dans l'oued Beni Azza on observe que la température maximale a été enregistré durant le mois d'Avril 19°C, a l'inverse la valeur minimale 11°C qui a été notée pendant le mois de Février (Figure 28).



**Figure 9 :** Histogramme des Variations de la température de l'eau d'Oued Chiffa (à gauche) et Oued Beni Azza (à droite) en rouge la température du jour **(2024).** 

La variation de la température entre les deux sites de deux oueds peut être influencée par le climat ainsi que la saison et l'heure de prélèvement,

D'après la grille d'appréciation de la qualité générale des eaux (Monod, 1989) (Annex IV Tab n° V) les eaux des oueds sont de qualité normal (Classe 1A).

Nos résultats sont proches aux valeurs de l'étude de (Chedadi et al,2023) au niveau d'oued Fès (Maroc) qui ont marqués des valeurs de température de 11°C durant la période d'hiver, par contre les résultats sont inferieure aux valeurs de 30°C durant la saison d'été.

Également nos résultats obtenus sont différents aux valeurs de l'étude de (Mouni et al., 2009) au sein de l'oued Soummam (Algérie) qui ont révèles que les valeurs de la températures enregistrées avoisinent de (23°C-28°C) du mois de juin et de juillet.

#### II.1.2 Potentiel Hydrogène (pH)

Selon la figure 30 on observe dans Oued Chiffa que la valeur du pH maximale a été enregistré durant le mois de Mars (7.98) au niveau de site 2. Le minimale été noté pour le site 1 avec une valeur de 7.69 pendant le mois d'Avril. Alors que dans Oued Beni Azza la valeur maximale a été enregistré durant le mois de Mars (8.03) au niveau de site1, par opposition le minimale été noté pour le site 2 avec une valeur de 7.48 pendant le mois d'Avril.

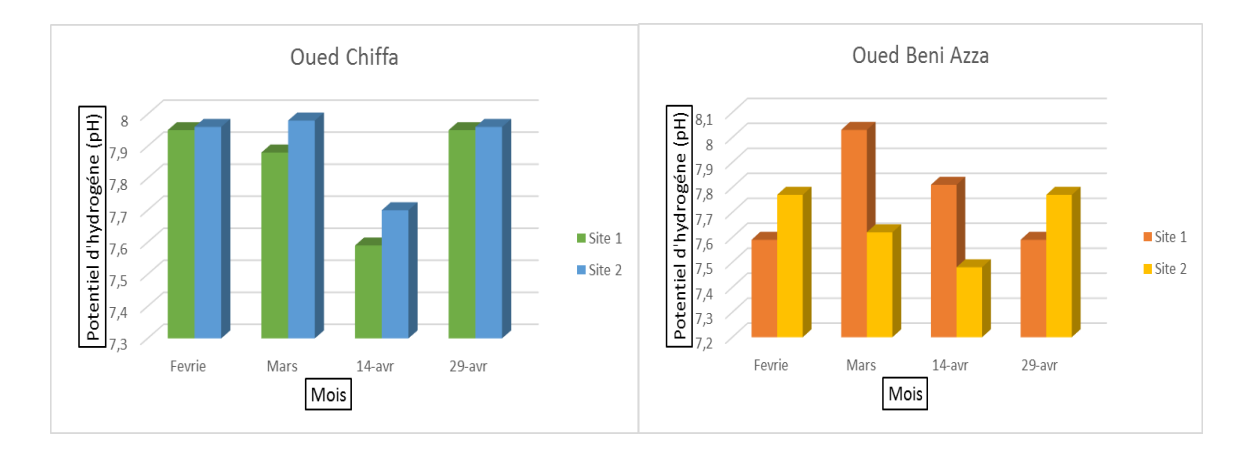


Figure 10 : Histogramme des Variations de potentiel d'hydrogène de l'eau d'Oued de Chiffa et Beni Azza (2024).

Le pH est un facteur dépendant des conditions naturelles du milieu, telle la couverture végétale et la nature des roches et du substrat pédologique et des activités humaines telle la pollution, il diminue en présence des teneurs élevées en matière organique et augmente en période d'étiage, lorsque l'évaporation est assez importante. (Bekhouche et al.,2022).

Selon **Benslimane** (2002) la qualité de l'eau dans les deux Oueds est de neutralité rapprochée pour l'ensemble des prélèvements (Annex IV).

Nos résultats du pH des deux oueds étudiés durant les 3 mois sont proches aux résultats de (Chedadi et al, 2023) au sein d'oued Fes (Maroc) avec des valeurs entre 6.5 et 8.5 pendant la saison d'hiver et d'été.

Nos valeurs du pH enregistrées des eaux d'oueds Chiffa et Beni Azza sont très proches des valeurs de l'étude (Mouni et al., 2009) au niveau de l'oued Soummam (Algérie) qui ont été estimées entre (7.74-8.75) et qui ont été mesurées à la saison d'été (juin-juillet).

#### II.1.3 Conductivité électriques (CE)

La figure 32 montre que la valeur de la conductivité maximale dans Oued Chiffa à été enregistré durant le mois de Février 452 UC /CM au niveau de site 2, par contre la valeur minimale été noté pour le site 1 avec une valeur de 417 US/CM pendant le mois d'Mars. Tandis que on remarque que la valeur maximale dans Oued Beni Azza a été enregistré durant le mois d'Avril 1664 UC /CM au niveau de site1, le minimale a été noté pour le site 2 avec une valeur de 337 US/CM pendant le mois d'Avril.

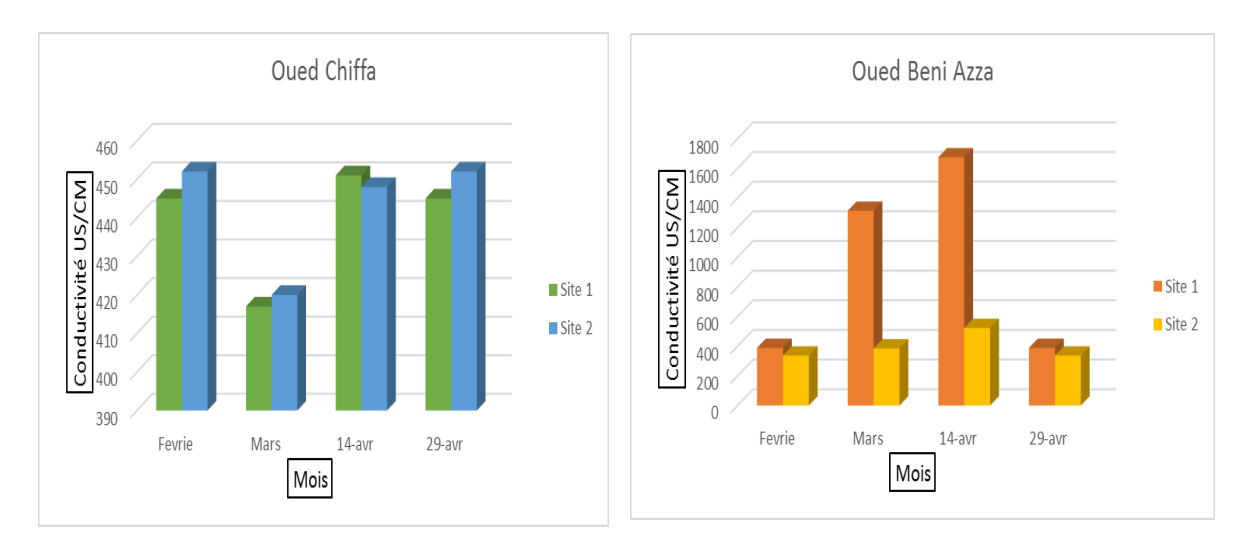


Figure 11: Histogramme des Variations de CE de l'eau d'Oued de Chiffa (2024).

Les concentrations de la CE permet de donner des informations sur les matières solubles dans l'eau. Elle est liée à la concentration et la nature des substances dissoutes. Elle varie en fonction de la présence d'ions, de leur concentration, de leur mobilité et de la température de l'échantillon. En général, les sels minéraux sont de bons conducteurs par opposition à la matière

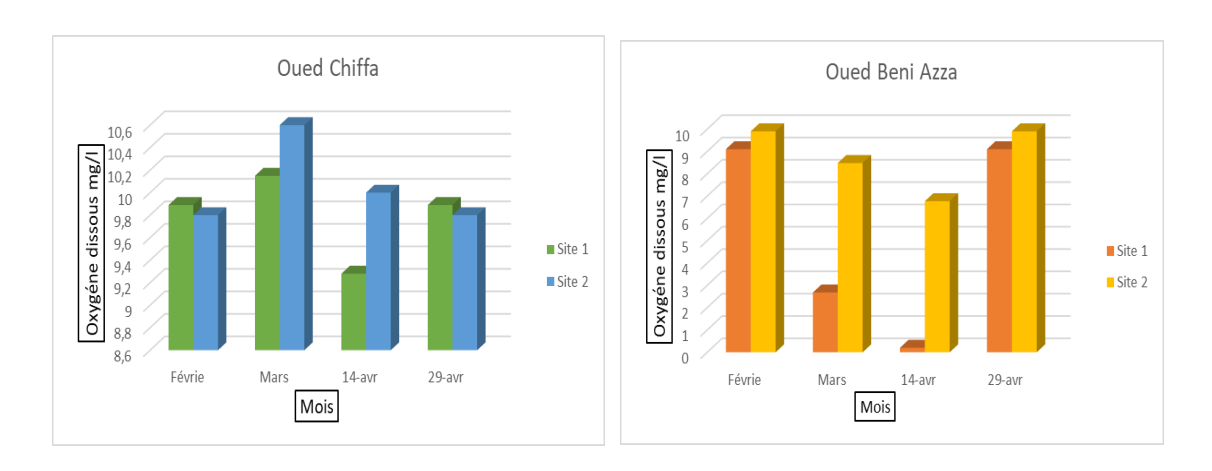
organique et colloïdale, qui conduit peu (Ngaram,2011). La CE dans les deux sites des deux oueds est de très bonne qualité Selon ABH (2009) (Voir Annex IV).

Nos résultats sont proches aux valeurs de (Chedadi, Amakdouf, Bernossi et al.,2023) au sein d'Oued Fès (Maroc) à indiquer les valeurs entre 314 µs /cm et 1839 µs /cm, par contre les résultats des sites d'Oueds Beni Azza et chiffa (Mars et Avril) sont inférieurs aux résultats de (Chedadi, Amakdouf, Bernossi et al.,2023).

Nos résultats de CE sont supérieure aux valeurs de l'étude (**Mouni et al., 2009**) de l'oued Soummam (Algérie) allant de 2.89 US/CM à 16.33US/CM, d'autre part nos valeurs de deux oueds étudiés surpasse celle-ci de 417 US/CM jusqu'à 1664 US/CM.

#### II.1.4 L'oxygène dessous

D'après la figure 34 on observe que la valeur maximale de l'oxygène dissous dans Oued chiffa été enregistré durant le mois de Mars 10.60 Mg/L au niveau de site 2 et la valeur minimale été noté pour le site 1 avec une valeur de 9.28 MG/L pendant le mois d'Avril. Ainsi que la valeur maximale dans Oued Beni Azza été observée durant le mois d'Avril 9.90Mg/L au niveau de site 2. Le minimale a été noté pour le site 1 avec une valeur de 0.2Mg/L pendant le mois d'Avril.



**Figure 12 :** Histogramme des Variations d'oxygène dissous de l'eau des deux Oued Chiffa et Beni Azza.

La concentration de l'oxygène est lié à la température de l'eau. En effet une eau froide contient une plus grande quantité d'oxygène dissous qu'une eau chaude (**Iounes et El Amrani**, **2016**) et la nature de l'eau (site 1 stagnant, site 2 au courant).

D'âpres la grille d'évaluation (**Annex IV**), la qualité des eaux de deux oueds est excellente au niveau de site 2 et mauvaise au niveau de site 1.

Les résultats obtenus des eaux de deux oueds étudiés sont inférieurs aux résultats obtenus par (Chedadi et *al.*,2023) qui ont trouvé un intervalle de 6.33 mg/L à 11.25 mg/L dans les eaux de surface d'oued Fès (Maroc).

#### II.2 RESULTATS DES ANALYSES MICROBIOLOGIQUE

#### II.2.2 Recherche et dénombrement des germes de contamination fécale

#### 1. Recherche et dénombrement des coliformes

## **Les coliformes totaux (CT)**

Les résultats de dénombrement des coliformes totaux sont présentés dans le tableau V et la figure 36.

Tableau V: Résultats des coliformes totaux × 10<sup>3</sup> CT/ 100 ml

	Germe	C	Т
	Date de prélèvements / Site	Site 1	Site 2
Oued	26.02.2024	18	35
Chiffa	10.03.2024	11	24
	14.04.2024	14	22
	29.04.2024	<1	<1
Oued	26.02.2024	160	160
Beni	10.03.2024	92	92
Azza	14.04.2024	54	92
	29.04.2024	35	54



**Figure 13 :** Résultats de test présomptif d'oued Chiffa site 1 (O1S1) et Beni Azza site 1 (O2S1) dans le mois avril 2024

Les résultats de dénombrement des CT dans l'Oued Beni Azza montre une valeur maximale de 160× 10^3 CT/100 ml pendant le mois février dans les deux sites. En comparaison, les valeurs dans l'Oued Chiffa sont moins importantes où la valeur la plus élevée est de 35× 10^3 CT/100ml pendant le mois février dans le site 2. Ces valeurs ne dépassent pas le seuil des normes adoptées par (JORA, 2011) qui est 50 000 UFC/100ml.

Le nombre des CT est un paramètre très important pour estimer le degré de pollution d'un écosystème aquatique et surtout pour déterminer l'origine de la contamination (**Dellarras**, 2003). La présence de coliformes totaux dans l'eau signifie qu'elle a récemment été contaminée par des matières fécales, provenant soit animal soit humain ou les deux à la fois (**Mwanza et al.,2019**).

### **↓** Les coliformes fécaux (CF)

Les résultats de dénombrement des coliformes fécaux sont présentés dans le tableau VI et la figure 37.

Tableau VI: Résultats de dénombrement des coliformes fécaux × 10<sup>3</sup> CT/ 100 ml

	Germe	CF	
	Date de prélèvements / Site	Site 1	Site 2
Oued	26.02.2024	<1	5
Chiffa	10.03.2024	<1	<1
	14.04.2024	<1	<1

	29.04.2024	<1	<1
Oued	26.02.2024	7	12
Beni Azza	10.03.2024	5	10
	14.04.2024	6	12
	29.04.2024	12	17

Tableau VI: Résultats de dénombrement des coliformes fécaux × 10<sup>3</sup> CT/ 100 ml (suite)

Selon le teste de confirmation, les CF sont représentés essentiellement par *Escherichia coli*, qui est le type de coliformes associé exclusivement aux habitats fécaux.

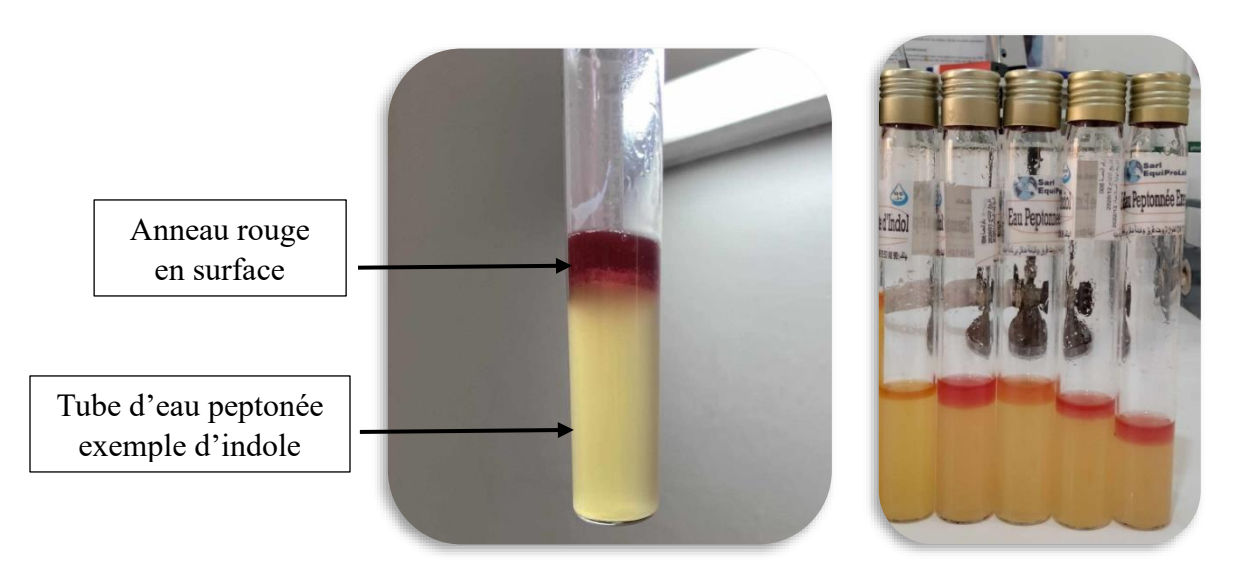


Figure 14 : Test confirmatif à 44°C confirme la présence d'Escherichia Coli

Il est observé que l'Oued Beni Azza affiche un niveau de contamination plus élevé avec une valeur maximale de  $17 \times 10^3$  CF/100 ml pendant le mois d'avril, tandis que la dans l'Oued Chiffa est de  $5 \times 10^3$  CF/100 ml pendant le mois février. Ce qui explique que le seuil des normes n'est pas dépassé, (JORA ,2011) qui est de 20 000UFC/100 ml.

Les résultats de notre étude sur les CF dans l'oued Beni Azza inférieures à celles rapportées dans l'étude de (**Bengherbia**, et *al.* 2014) qui sont trouvé des résultats supérieurs à  $240 \times 10^7$  UFC/100ml.

Les résultats observés dans l'oued Beni Azza pendant le mois avril sont peut-être dû à la température élevée enregistré durant la saison sèche qui joue comme d'un facteur favorisant la multiplication rapide des différentes bactéries en générales et de germes fécaux en particulier. (Jacinta et al, 2007) ont noté dans leurs travaux que la qualité des eaux de surface souffre également de la présence de niveaux élevés en coliformes fécaux.

La détection de coliformes fécaux dans les deux oueds suggère une contamination récente par des matières fécales, probablement d'origine humaine ou animale, principalement dues aux effluents d'élevage, ainsi qu'aux déversements domestiques dans ce système hydrologique.

#### 2. Recherche et dénombrement des Streptocoques fécaux (SF)

La recherche des streptocoques fécaux est communément utilisée pour identifier une pollution d'origine fécale. Leur prolifération est due au déversement des matières organiques et des substances nutritives azotées (RODIER et al., 1984).

Le tableau VII et la figure 38 représente l'ensemble des résultats obtenus pour le dénombrement des streptocoque fécaux.

**Tableau VII**: Résultats des streptocoques fécaux × 10<sup>3</sup> SF/100ml

	Germe	S	F
	Date de prélèvements / Site	Site 1	Site 2
Oued	26.02.2024	13	18
Cheffa	10.03.2024	14	24
	14.04.2024	8	12
	29.04.2024	2	3
Oued	26.02.2024	18	24
Beni Azza	10.03.2024	24	24
	14.04.2024	13	18
	29.04.2024	17	24



**Figure 15 :** Résultats de test présomptif d'Oued Beni Azza site 1 dans le mois de Avril 2024

Les résultats montrent que leur nombre est variable dans les deux oueds, les valeurs les plus élevés ont été enregistré durant le mois Mars pour les deux oueds 24× 10<sup>3</sup> SF/100ml. Ces concentrations élevées en streptocoques fécaux sont dues à la dessiccation et leur capacité à persister plus longtemps dans l'eau (GLEESON et GRAY, 1997).

Tandis que les valeurs les plus faibles dans le mois Avril 2× 10<sup>3</sup> SF/100ml dans l'oued Chiffa et 13 × 10<sup>3</sup> SF/100ml pour l'oued Beni Azza. Ces résultats n'ont pas dépassé le seuil des normes avec des taux qui varie entre 2300 jusqu'à 6300 UFC/ml (**JORA**, **2011**).

Les résultats observés dans notre étude sont inferieur à celle rapportées par **(ABDELLIOUI et al 2013)** sur Oued El KebirOuest (Skikda, Nord – Est algérien), où les valeurs maximales et minimales enregistrées étaient de 7500 x 10<sup>3</sup> CFU/ml et 31 x 10<sup>3</sup> CFU/ml, respectivement, au mois de mars. Aussi avec l'étude de **(ADJEROUD et NAHAL, 2014)** sur l'oued Messida (Kala), où les valeurs maximales et minimales étaient de 1400 x 10<sup>3</sup> CFU/100 ml et 40 x 10<sup>3</sup> CFU/100 ml, respectivement, pendant les mois de mars et avril.

#### **Unique de contamination**

Selon la classification adoptée par **Borrego** et **Roméro** (1982) (Voir Annex V) et pour déterminer l'origine de contamination fécale on calcule le rapport CF/SF (Tableau VIII).

Tableau VIII: Résultats de rapport CF/SF dans l'Oued Chiffa et l'Oeud Beni Azza

	Oued Chiffa		Oued Beni Azza	
	Site 1	Site2	Site1	Site2
1 <sup>er</sup> prélèvement	0,076	0,27	0,38	0,5
2eme prélèvement	0,071	0,041	0,2	0,41
3eme prélèvement	0,125	0,083	0,46	0,66
4eme prélèvement	0,5	0,33	0,7	0,7

Dans ce cas, les résultats de rapport CF/SF sans inférieur à 0,7 donc la source de contamination est d'origine animal.

Ces résultats peuvent être interprété comme étant causé par la présence de déjections animales, notamment celles des oiseaux aquatiques et des animaux domestiques, ainsi que par l'afflux d'eau provenant de certains habitats, principalement près de l'oued Beni Azza.

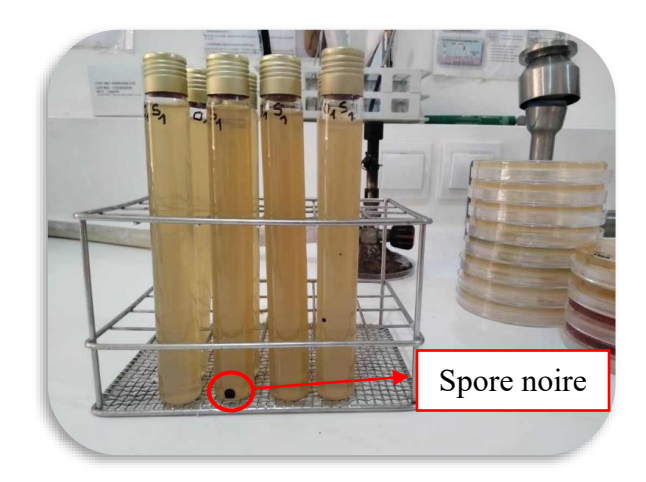
# 3. Recherche et dénombrement des spores des bactéries anaérobies sulfito-réducteurs (ASR)

Les ASR sont d'origine fécale et indiquent une contamination ancienne à cause de la résistance de leurs spores contrairement aux formes végétatives (Georges et al., 2002).

Les résultats de dénombrement des spores des bactéries anaérobies sulfito-réducteurs sont résumés dans le tableau IX et les figures 39 et 40.

Tableau IX : Résultats de dénombrement des spores des ASR

	Oued Chiffa (10 <sup>2</sup> )		Oued Beni Azza (10 <sup>6</sup> )	
	Site 1	Site 2	Site 1	Site 2
1 <sup>er</sup> prélèvement	42	122	Indénombrable	Indénombrable
2eme prélèvement	0	0	Indénombrable	Indénombrable
3eme prélèvement	0	2	Indénombrable	Indénombrable
4eme prélèvement	3	3	Indénombrable	Indénombrable



**Figure 16 :** Résultats des ASR dans la 4eme prélèvements d'Oued Chiffa



**Figure 17 :** Résultats des ASR dans la 4eme prélèvements d'Oued Beni Azza

Les résultats de la recherche et du dénombrement des ASR dans les eaux de l'oued Chiffa ont montré que le nombre de spores varie entre 0 à 122x 10^2 spores /20 ml. En revanche, on note que pour les eaux d'oued Beni Azza est toujours indénombrables (**Tableau 9**).

Les résultats des ASR ne sont pas conformes à la norme de (l'OMS ,2006) et à celle du (JORA,2011) qui exigent une absence totale d'ASR.

Des investigations sur la qualité de l'eau de l'oued Beni Azza, réalisées par (Safri et Salem, 2015). Ont abouti à la découverte des bactéries anaérobies sulfito-réducteurs avec des valeurs maximal 10 x 10<sup>4</sup> spores/20ml dans de site 1 et 18 x 10<sup>4</sup> spores/20ml pour le site 2.

#### II.2.3 Identification des colonies bactériennes

Les résultats des indicateurs de contamination fécale sont confirmés par la présence d'une grande diversité microbienne. Ainsi, pendant notre étude, nous avons isolé et identifié de nombreuses bactéries pathogènes qui peuvent être à l'origine des maladies à transmission hydrique. Ces bactéries sont souvent isolées avec des colonies assez importantes.

Deux étapes primordiales ont été suivies durant la recherche des germes pathogènes : l'observation macroscopique et microscopique des colonies isolées, les tests d'orientation rapide (catalase, oxydase) et l'identification biochimique (API20E et API 20NE). Les résultats sont résumés dans les tableaux et les figures ci-dessous



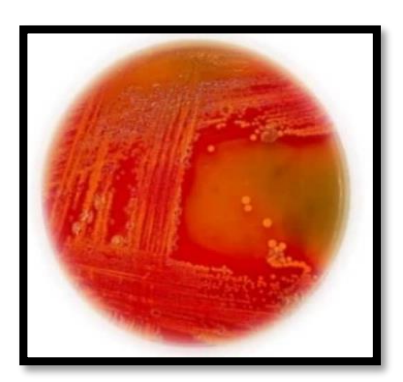
**Figure 18 :** Souche 1 : Colonies de couleur Jaune orangé, larges, lisses, brillantes avec un aspect Œuf sur plat sur milieu héktoen



**Figure 19 :** Souche 2 : Colonies de couleur jaune orange : Muqueuses, larges, bombées et luisantes sur héktoen



**Figure 20** : Souche 3 : colonies jaune saumon à centre noir sur Héktoen



**Figure 21 :** Souche 4 : colonies muqueuses, lisse et bombés



Figure 22 : Souche 5 : colonies vertes et muqueuse sur cétrimide

## **★** Tests d'orientation rapide

#### > Tests de catalase et d'oxydase

Les résultats du test de catalase et d'oxydase sont présentés dans le tableau ci-dessous :

 $\textbf{Tableau} \ \textbf{X} : \textbf{R\'esultats des tests de catalase et d'oxydase}$ 

	Catalase	Oxydase
Nombre de positif	41	10
Photos originales		1

# **4** Identification biochimique

Tableau XI: Résultats de l'identification biochimique

La souche	Identification biochimique	L'espèce
Souche 1	ONE ASSE ESC. DOC SOLE 1653 DESC SOLE SOLE SOLE SOLE SOLE SOLE SOLE SOLE	Escherichia coli
Souche 2		Klebsiella pneumoniae
Souche 3	THE REST OF THE PARTY OF THE PA	Citrobacter freundii
Souche 4	SOUR AND LOCK COLUMNS THE WAY A DOLL ON A WAY AND THE WAY A DOLL ON A WAY A WA	Klebsiella oxytoca
Souche 5	NOW THE SUN ACH USE ESCA OFF. THE SELFACES INMEDIANCE TRAINS CANS INC. THE SUN ACH USE TO A CO. THE SELFACES IN THE SUN ACH USE TO A CO. THE SELFACES IN THE SUN ACH USE TO A CO. THE SELFACES IN THE SELFACES	Pseudomonas aerogunosa

# II.2.4 Distribution des bactéries pathogènes selon l'oued et le site

**Tableau XII :** Répartition des bactéries pathogènes isolées à partir de l'Oued Chiffa sur les sites 1 et 2

		Germes pa	thogènes
Oued	Nombre de prélèvements / Site	Site 1	Site 2
Chiffa	I	<ul> <li>Escherichia coli</li> <li>Klebsiella oxytoca</li> <li>Klebsiella         pneumoniae</li> <li>Citrobacter freundii</li> </ul>	<ul> <li>Escherichia coli</li> <li>Klebsiella         pneumoniae</li> <li>Citrobacter         freundii</li> <li>Bacillus</li> </ul>
	II	<ul> <li>Escherichia coli</li> <li>Klebsiella oxytoca</li> <li>Bacillus</li> </ul>	<ul> <li>Escherichia coli</li> <li>Klebsiella         oxytoca</li> <li>Bacillus</li> <li>Pseudomonas         aerogunosa</li> </ul>
	III	<ul> <li>Klebsiella         pneumoniae</li> <li>Klebsiella oxytoca</li> <li>Bacillus</li> <li>Pseudomonas         aerogunosa</li> </ul>	<ul><li>Klebsiella pneumoniae</li><li>Pseudomonas aerogunosa</li></ul>
	IV	<ul><li>Klebsiella pneumoniae</li><li>Pseudomonas aerogunosa</li></ul>	<ul><li>Klebsiella     pneumoniae</li><li>Pseudomonas     aerogunosa</li></ul>

Tableau XIII: Les bactéries pathogènes isolées à partir de l'Oued Beni Azza sur les sites 1 et 2

		Germes p	Germes pathogenes		
Oued	Nombre de prélèvement / Site	Site 1	Site 2		
Beni Azza	I	■ Escherichia coli	■ Escherichia coli		
		<ul> <li>Klebsiella</li> </ul>	<ul> <li>Klebsiella</li> </ul>		
		pneumoniae	pneumoniae		
		<ul><li>Citrobacter</li></ul>	<ul> <li>Pseudomonas</li> </ul>		
		freundii	aerogunosa		
	II	■ Escherichia coli	Escherichia coli		
		<ul> <li>Klebsiella</li> </ul>	<ul> <li>Klebsiella</li> </ul>		
		pneumoniae	pneumoniae		
		<ul><li>Bacillus</li></ul>	■ Bacillus		
	III	<ul><li>Klebsiella</li></ul>	<ul> <li>Klebsiella</li> </ul>		
		pneumoniae	pneumoniae		
		<ul> <li>Klebsiella</li> </ul>	<ul> <li>Klebsiella</li> </ul>		
		oxytoca	oxytoca		
		<ul><li>Bacillus</li></ul>	■ Bacillus		
		<ul><li>Pseudomonas</li></ul>	<ul> <li>Pseudomonas</li> </ul>		
		aerogunosa	aerogunosa		
	IV	<ul> <li>Klebsiella</li> </ul>	<ul> <li>Klebsiella</li> </ul>		
		pneumoniae	pneumoniae		
		<ul><li>Pseudomonas</li></ul>	<ul> <li>Pseudomonas</li> </ul>		
		aerogunosa	aerogunosa		

Pour les bactéries du genre *salmonella* et pour l'espèce *Vibrio cholerae* les résultats laissent apparaître une absence totale dans tous les échantillons. Cette constatation est similaire à celle rapportée par (Bengherbia, et *al.* 2014) dans les eaux de Oued Beni Aza et par (Aboulkacem et *al.* 2007) dans les eaux des oueds Boufekrane et Ouislane et par (El-Addouli et *al.* 2009) dans les eaux de l'oued Bouishak (Maroc).

Sachant que l'absence des salmonelles peut être expliqué par une absence des conditions nécessaires pour le développement de ces germes (Bourgeois et al.,1996 et Plusquellec, 1991).



Figure 23 : Absence des colonies d'espèce Vibrio cholera



**Figure 24** : Absence des colonies du genre salmonella

#### II.2.5 Résultats des champignons

#### **4** Isolement

À partir des échantillons d'eau d'oued 5 isolats de champignons filamenteux ont été obtenus (Aspergillus nige, Aspergillus fumigatus, Aspergillus flavus, Candida albicans et Fusarium).

Tableau XIIII: Résultats des champignons.

	Oued	Chiffa	Oued Beni Azza	
Champignons / Site	Site 1	Site 2	Site 1	Site 2
Aspergillus nige	-	+	+	-
Aspergillus fumigatus	+	+	+	-
Aspergillus flavus	-	+	-	+
Candida albicans	-	-	+	+
Fusarium	-	+	-	-

#### **4** Identification fongique:

L'aspect (recto et verso), la couleur, la température et la vitesse de pousse des souches fongiques isolées sont représentés dans l'Annex VI

#### II.2.6 Profil d'antibiorésistance

Au cours de cette étude, l'antibiogramme réalisé a été effectué sur chaque souche isolée afin de déterminer sa sensibilité et sa résistance vis-à-vis de divers antibiotiques selon la standardisation des tests de sensibilité aux antibiotiques à l'échelle nationale 8éme Edition 2020.

Les diamètres des zones d'inhibition mesurés ont été comparés aux diamètres critiques conformément aux normes.

#### 1. Les entérobactéries

#### > Escherichia coli

Toutes les souches d'*Escherichia coli* ont été totalement sensibles à l'GEN, ETP, C, FEP et (87.5%) à CIP et COT. Cependant elles ont été faiblement sensibles à CTX (12.5%) et AMC (25%). Nous avons noté une résistance totale des souches à l'CZ.

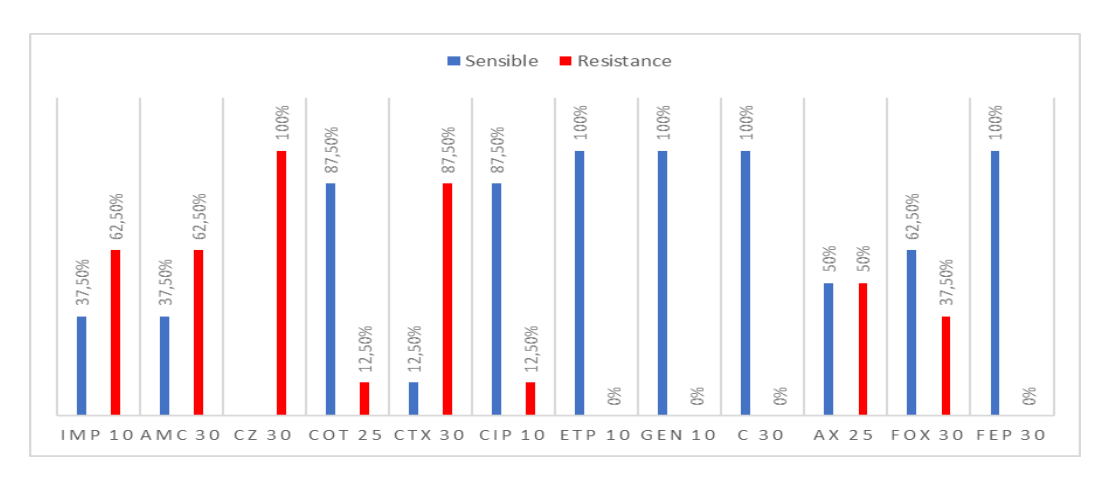


Figure 25 : Résultats de l'étude de l'antibiorésistance des souches d'Escherichia coli



**Figure 26** : Zone d'inhibition d'une souche *d'Escherichia coli* par les antibiotique testés (**Photo originale, 2024**)

#### > Klebsiella pneumoniae

Une sensibilité totale de l'ensemble des souches isolées de *Klebsiella pneumoniae* a été notée vis-à-vis de l'FEP et du GEN et AK. Nous avons constaté une forte sensibilité (85,71%) à AMP et FOX et NA (64,29%) à COT et (57.1%) à CIP. Et une résistance totale à l'CZ et (57,1%) à AMC et AX.

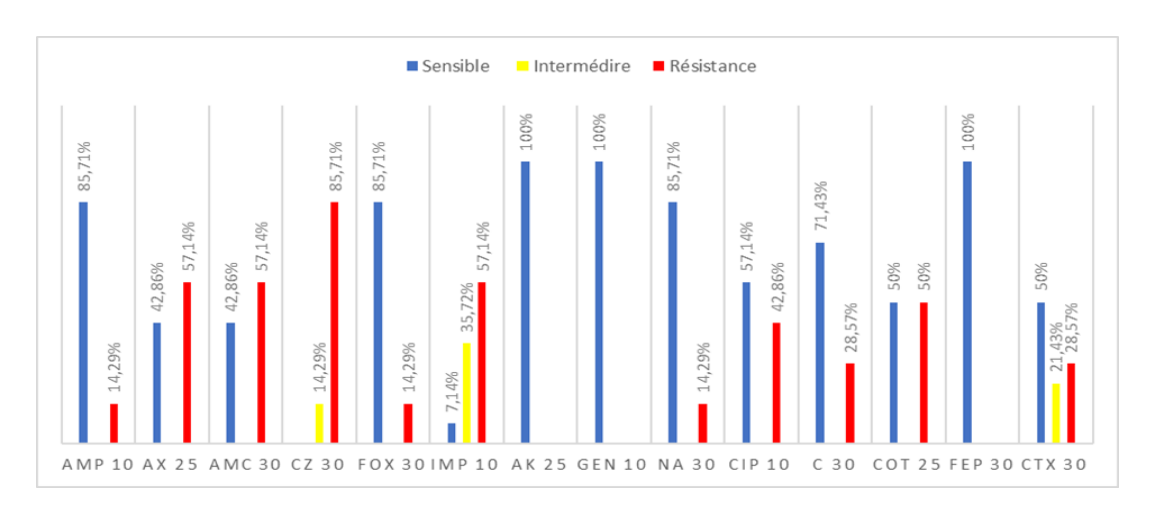


Figure 27 : Résultats de l'étude de l'antibiorésistance des souches de Klebsiella pneumoniae



**Figure 28** : Zone d'inhibition d'une souche *Klebsiella pneumoniae* par les antibiotique testés (**Photo originale, 2024**)

#### > Citrobacter freundii

L'étude de la résistance des souches de *Citrobacter freundii* aux différents antibiotiques a montré une résistance totale au CZ et taux de 66,66% aux IMP et AX et 33,34% au CTX. Et sont totalement sensible à GEN et taux de 66,66% aux FOX, FEP, ETP, COT, CIP, C et AMC.

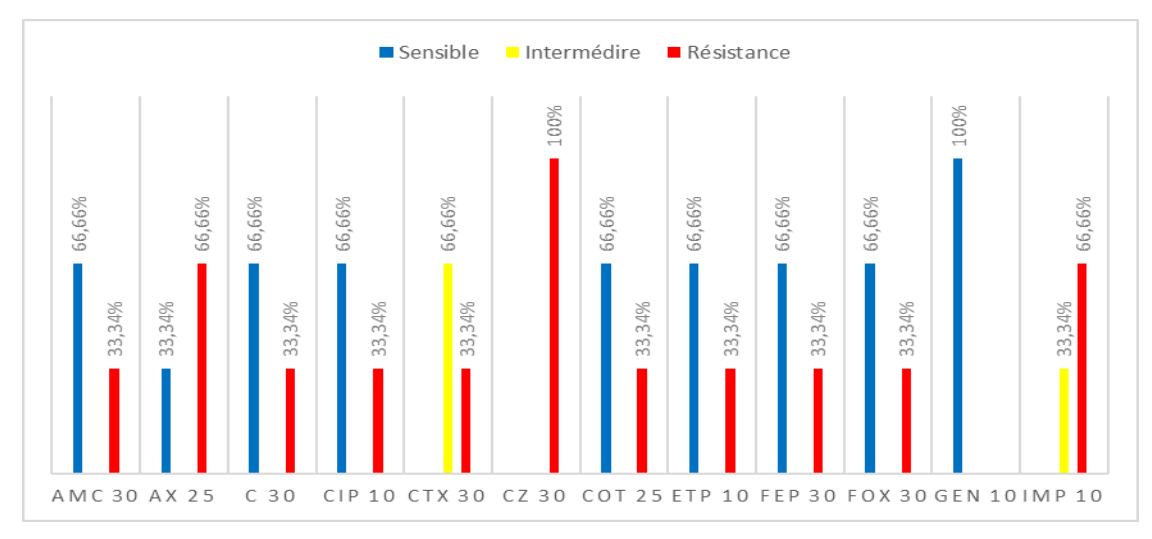
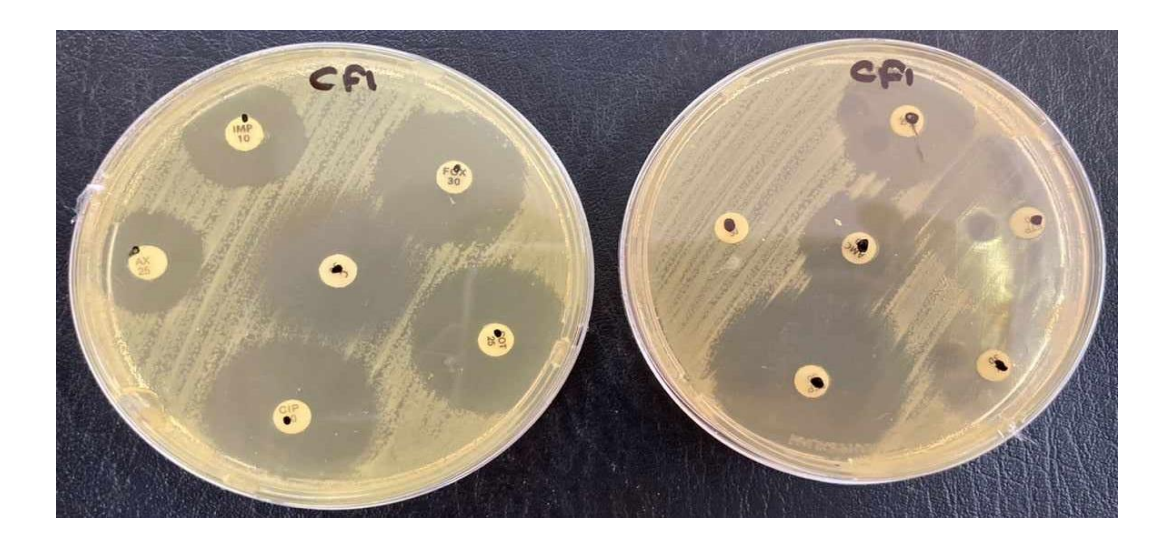


Figure 29 : Résultats de l'étude de l'antibiorésistance des souches de Citrobacter freundii



**Figure 30** : Zone d'inhibition d'une souche *Citrobacter freundii* par les antibiotique testés (**Photo originale, 2024**)

#### > Klebsiella oxytoca

Toutes les souches de *Klebsiella oxytoca* isolées ont montré une résistance totale au CZ et une résistance élevée vis-à-vis de FOX (83.33%), AMC et AX et CTX (66.67%). Par contre, nous avons constaté une forte sensibilité (100%) à GEN et (83,33%) à ETP et FEP et (66,67%) à COT, CIP, C et IMP.

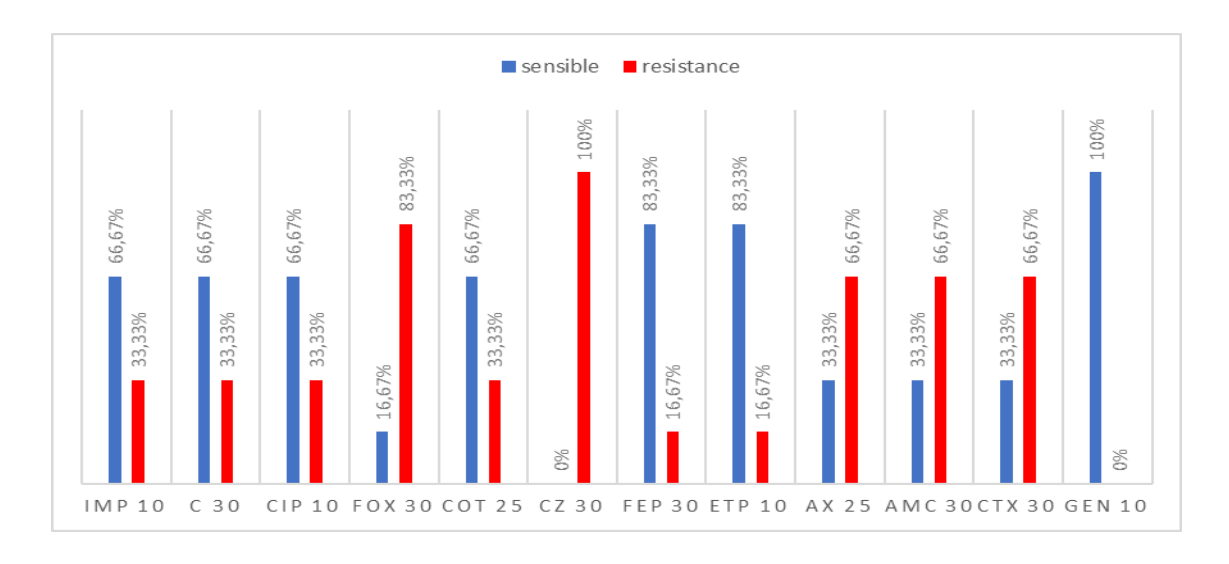


Figure 31 : Résultats de l'étude de l'antibiorésistance des souches de Klebsiella oxytoca



**Figure 32 :** Zone d'inhibition d'une souche *Klebsiella oxytoca* par les antibiotique testés (**Photo originale, 2024**)

La distribution des entérobactéries dans la nature est néanmoins plus large, puisqu'on les retrouve notamment chez les végétaux, dans l'environnement (sol et eau) et dans la flore digestive de l'homme et des animaux (Cristian et al., 2008).

La majorité des entérobactéries isolées sont résistante à la famille de Bétalactamine : Amoxicilline, Amoxicilline+acide clavulanique, Impicilline, Céfotaxime, Imipénème, Céfoxitine, Cefepime, Cefazoline. Cette résistance est expliquée par la production des β-lactamases qui est retrouvée chez de nombreuses entérobactéries (*Klebsiella, Escherichia, Citrobacter*) (**Zogheib et** *al.*, 2005).

La résistance de certaines souches d'entérobactéries (*Klebsiella pneumoniae*, *Citrobacter freundii*, *Klebsiella oxytoca*) à la Chloramphénicol est due à la production d'une "chloramphénicol acétyltransférase" (**Epaulard et Brion**, 2009).

L'habitat de ces bactéries en milieu humide - eau, égouts - et sols riches en antibiotiques, lui confère des facteurs de résistance à plusieurs antibiotiques (Zogheib et al., 2005)

Certaines souches d'entérobactéries isolées sont sensibles à l'Imipénème et Ciprofloxacine, ces antibiotiques sont responsables respectivement de l'inhibition de la synthèse du peptidoglycane de la paroi, et l'inhibition de la synthèse de l'ADN (MOHAMMEDI,2017).

Les entérobactéries isolées sont totalement sensibles à l'antibiotique Gentamicine de la famille des aminosides. Son activité bactéricide, inhiber la synthèse des protéines, altérant ainsi la

perméabilité de la membrane cellulaire, entraînant la rupture progressive de l'enveloppe cellulaire puis éventuellement la mort de la cellule (Vidal,2016).

On peut dire que les résultats de notre étude pratiques montrent une haute similarité à celle rapporté par **(ADJEROUD et NAHAL, 2014)** sur l'Oued Messida (Nord-Est Algérie).

#### 2. Pseudomonas aeruginosa

D'après la **figure 56**, nous remarquons que la résistance des souches de *Pseudomonas aeruginosa* variait selon l'antibiotique testé avec un taux de résistance de 40% pour TI, PRL, ATM et IMP, nous remarquons aussi une faible résistance des souches à la TCC, CAZ et LE (20%) et une sensibilité totale aux AK, GEN, TOB et CIP.

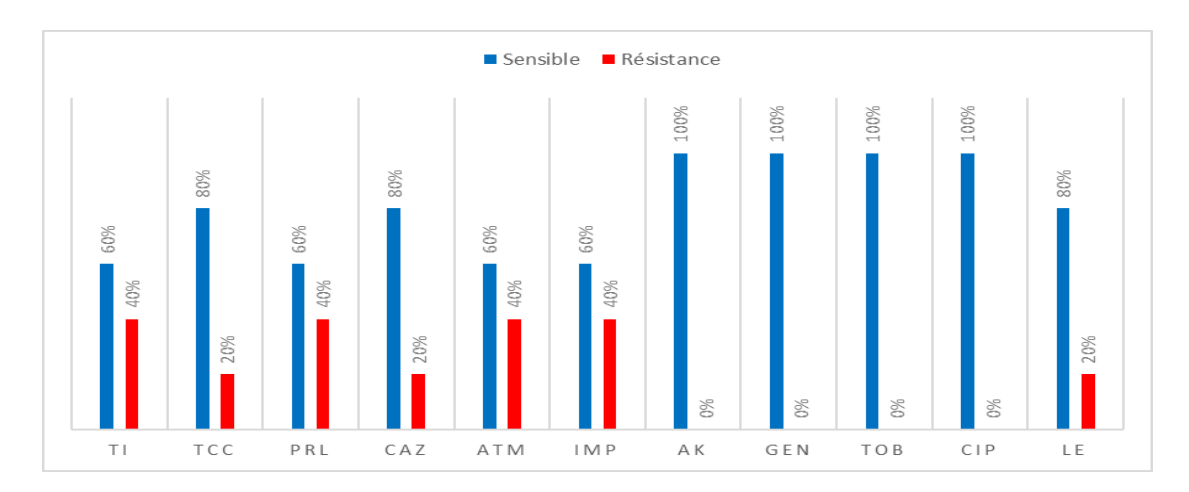


Figure 33 : Résultats de l'étude de l'antibiorésistance des souches de Pseudomonas aeruginosa



**Figure 34 :** Zone d'inhibition d'une souche *Pseudomonas aeruginosa* par les antibiotique testés (**Photo originale, 2024**)

Dans l'étude réalisé par (**ATTIA** et **SAYAD**, **2012**) sur l'eau d'Oued EL-Hout et l'Oued Messida (parc national d'EL Kala, W d'Ei Taref) déclare une absence totale de genre pseudomonas.

Pseudomonas aeruginosa possède une résistance naturelle aux β-lactamines du fait de la faible perméabilité de leur membrane externe (Liazid,2012). La bactérie produit  $\beta$  lactamase chromosomique inductible qui hydrolyse généralement et préférentiellement les céphalosporines de 1<sup>er</sup> génération (Sougakoff et al., 2003).

Elle est aussi naturellement sensible à la Ticarcilline, Piperacilline et certaines céphalosporines (céftazidine), monobactames et quelques imipénèmes (Poirel et al., 2006). Cette bactérie peut acquérir la résistance bactérienne à un ATB. Celle-ci résulte d'une modification génétique ou de l'acquisition de matériel génétique étranger (Liazid, 2012).

# Conclusion

L'appréciation de la qualité des eaux de surface se base sur la détermination de plusieurs paramètres, pour cela et pour le but de contribué à la caractérisation des deux oueds Chiffa et Beni Azza dans la région de Blida, nous avons étudié leurs propriétés physico-chimiques, réalisé des analyses bactériologiques, établi des profils de résistance et recherché la présence de champignons.

L'études des paramètres physico-chimiques effectué in situ, a permis de dire que l'eau d'oued Chiffa et oued Beni azza est de bonne à moyenne qualité avec des résultats conformes aux normes pour tous les paramètres étudiés.

Les résultats des analyses bactériologiques se sont concentrés principalement sur la quantification des bactéries indicatrices de contamination fécale d'origine animal.

Les résultats des marqueurs de contamination fécale sont confirmés par la diversité microbiologique observée. Au cours de notre étude, nous avons identifié de nombreuses bactéries pathogènes résistantes aux antibiotiques dans un milieu aquatique naturel. Nous avons isolé 31 souches d'Entérobactéries ainsi que 10 souches de *Pseudomonas aeruginosa*.

L'établissement du profil d'antibiorésistance a permis de déterminer une forte résistance des *entérobactéries* vis-à-vis la famille des bêta-lactamines. Concernant les souches de *Pseudomonas aeruginosa*, elles présentaient une résistance pour les antibiotiques Ticarcilline, Pépiracilline, Aztréoname et Imopénème.

Par ailleurs, cette étude a également révélé la présence de plusieurs champignons, notamment Aspergillus niger, Aspergillus fumigatus, Aspergillus flavus, Candida albicans et Fusarium.

L'évolution des divers paramètres observée au cours de la période d'étude met en évidence l'influence de multiples facteurs abiotiques tels que le climat, l'érosion, la nature et la porosité des sols, ainsi que des facteurs biotiques tels que la présence de micro-organismes et leurs activités métaboliques. Il est également important de considérer l'impact de l'activité humaine, notamment ses déchets, ses sources de pollution et ses rejets industriels, domestiques ou agricoles.

Enfin, Selon le cadre réglementaire des eaux d'alimentation, les résultats physicochimiques et bactériologiques obtenus permettent de classer l'eau de ces deux oueds de qualité moyenne à mauvaise non-conformes pour la consommation humaine sans traitement préalable.

Étant donné les risques associés à la consommation d'eau de ces oueds, notamment les contaminations biologiques accidentelles, nous recommandons la mise en œuvre de mesures de sécurité telles que la chloration de l'eau. De plus, il est essentiel d'installer ou d'améliorer les stations d'épuration pour traiter les eaux usées domestiques et industrielles avant leur rejet dans les oueds. Ces eaux doivent être purifiées par filtration à travers des filtres appropriés, ainsi que par des processus de coagulation-floculation et de décantation.



# A

- Angelier E. (2000) Écologie des eaux courantes. Paris, Techniques et Documentation, 199 p.
- Ayachi, 1., Yamoun N., (2019) : Contribution à l'étude et 1 l'évaluation de la qualité bactériologique des eaux de puits et de sources de la Wilaya de Constantine. Mémoire de master. Université des Frères Mentouri Constantine. 1-6-7-22-44p
- Amend, AS Gladfelter, AS, James, TY (2019). Champignons marins. Biologie actuelle, 29 (6), R191-R195.
- Adam, G. (2014). Les bactéries pathogènes d'origine hydrique de l'épidémiologie à la prévention : étude bibliographique.
- Ayad, W., & Kahoul, M. (2016). Evaluation de la qualité physicochimique et bactériologique des eaux de puits dans la région d'El-Harrouch (NE-Algérie) [Assessment of physico-chemical and bacteriological quality of Well water in the region of El-Harrouch (NE-Algeria)]. Journal of Materials and Environmental Science, 7, 1288-1297.
- Abdi, S., MERZOUG, S., TABOUCHE, K., MAAZI, M. C., & HOUHAMDI, M. (2014).
   Évaluation de la qualité bactériologique des eaux du complexe de guerbes-sanhadja (wilaya de Skikda-nord est Algérien). In 1er Séminaire National sur la Santé et Bio-Surveillance des Ecosystèmes Aquatiques.
- Avril J.L. Dabernat H. Denis F. et Monteil H. (1992). Bactériologie Clinique. Ellipses, 602p.
- Ali Ahmed Benkaid, H. (2021). De l'émeute au hirak en Algérie : quelles incidences politiques : le cas d'Alger et de Tizi Ouzou (Doctoral dissertation, Paris
- Anctil, F. (2016). L'eau et ses enjeux 2e édition. Presses de l'Université Laval.
- Adjeroud Nadjat, N. M. (2014). La Recherche des bactéries antibiorésistantes dans les eaux de surface : cas de l'oued Messida (Nord-Est Algérien).
- Aboulkacem, A., Chahlaoui, A., Soulaymani, A., Rhazi-Filali, F., & Benali, D. (2007). Etude comparative de la qualité bactériologique des eaux des oueds Boufekrane et Ouislane à la traversée de la ville de Meknès (Maroc). Rev. Microbiol. Ind. San. Environ, 1(1), 10-22.
- ABDELLIOUI S, MERZOUG S, HOUHAMDI M (2013) Qualité microbiologique d'un écosystème lotique. Cas de l'Oued El KebirOuest (Skikda, Nord Est algérien).

 Arab, A., et al. (2004). Variabilité structurelle des peuplements de macro-invertébrés benthiques dans le bassin versant de la Soummam (Algérie, Afrique du Nord). Hal Science, hal-03530584

 $\mathcal{B}$ 

- Benayache, N. (2014). Évaluation du niveau de la pollution organique des eaux des barrages Hammam Grouz et Béni Haroun. Mémoire de Master, 2.
- Belhadj M., (2017). Qualité des eaux de surface et leur impact sur l'environnement dans la Wilaya de Skikda. Thèse, Université Mohamed Khider Biskra, Algérie.
- Benchabane R., Merzoug N., (2015). Contribution à l'étude de la qualité bactériologique et phytoplancton que de l'eau du marais Boussedra el boni (Annaba). Mémoire de Master.Université 8 Mai 1945 Guelma, 5pl
- Baudry C. et Brezellec H. (2006). Microbiologie-Immunologie: Exercices d'application. 2° édition, Wolters Kluwer France, 53-56.
- **Buttiaux R.**; **BEERENS H.et TACQUET A.**(1969). Manuel de technique bactériologiques Editions me vicales Flammarion. Médecine sciences. 213p.
- Brisabois, A., Lafarge, V., Brouillaud, A., De Buyser, M. L., Collette, C., Garin-Bastuji,
   B., & Thorel, M. F. (1997). Les germes pathogènes dans le lait et les produits laitiers: situation en France et en Europe. Rev. sci. tech. Off. int. Epiz, 16(1), 452-471.
- Boulaksaa, K., & Laifa, A. (2020). Évaluation de la pollution azotée minérale des eaux superficielles de la zone humide Ramsar du lac Fetzara (Nord-Est algérien). Revue des Sciences de l'eau, 32(4), 409-419.
- Borrego, A. F., & Romero, P. (1982). Study of the microbiological pollution of a Malaga littoral area II. Relationschip between fecal coliforms and fecal streptococci. VIè Journée Étude Pollutions, Cannes, France, 561-569.
- Benabdallah, S., Madyouni, H., Almanza, V., Joaquim-Justo, C., Romdhane, M. S., Habaieb, H., & Deliege, J. F. (2023). Assessment of Water Quality Variations and Trophic State of the Joumine Reservoir (Tunisia) by Multivariate Analysis. Water, 15(17), 3019.

- Bourgeois C M, Mescle J F et Zucca J 1996 Microbiologie alimentaire : Aspects
  Microbiologiques de la sécurité et de la qualité des aliments. Tome I. Editions Lavoisier, p
  241-251.
- Belghiti, M. L., CHAHLAOUI, A., Bengoumi, D., & El Moustaine, R. (2013). Etude de la qualité physico-chimique et bactériologique des eaux souterraines de la nappe plio-quaternaire dans la région de Meknès (Maroc). LARHYSS Journal P-ISSN 1112-3680/E-ISSN 2521-9782, (14).
- Bengherbia, A., Hamaidi, F., Zahraoui, R., Hamaidi, M. S., & Megateli, S. (2014). Impact des rejets des eaux usées sur la qualité physico-chimique et bactériologique de l'Oued Beni Aza (Blida, Algérie). Lebanese science journal, 15(2), 39-51.
- Benmezdad, A., & Moulahem, T. (2015). Profil fongique des mycoses superficielles diagnostiquées au laboratoire de parasitologie-mycologie du CHU de Constantine. Étude rétrospective : années 2011–2012–2013. Journal de Mycologie Médicale, 25(3), 243.

C

- Chekirou H., Ourdjini A. et Ourdjini S., (2017). Contribution à l'étude physico-chimique et bactériologique et l'origine de la pollution fécale au niveau de l'amont d'oued Seybouse (Guelma). Mémoire de master. Université 8 mai 1945. Guelma.p13
- Chedadi, M., Amakdouf, H., El Barnossi, A., El Moussaoui, A., Kara, M., El Asmi, H., ...
   & Bari, A. (2023). Impact des activités anthropiques sur la qualité physico-chimique et bactériologique des eaux le long de la rivière Oued Fès (Maroc). Africain scientifique, 19, e01549.
- Cristian C., B. Jacky., S. Eddy., M. Salavert et T. Armand. (2008). Microbiologie Hygiène Bases Microbiologiques de la diététique. Édition TEC, DOC, Lavoisier, Paris. P: 76-79

 $\mathcal{D}$ 

• Dussart B. (1992) Limnologie, l'étude des eaux continentales. Paris, Boubée, 681 p.

- Denis, F., Guiso, N. et Ploy, MC Barraud, O., Badell, E., (2011). Résistance aux antimicrobiens chez Corynebacterium diphtheriae mitis. Maladies infectieuses émergentes, 17 (11), 2078.
- **Decrouy A**, 2022. Eaux de surface définition et exemples, projet ecolo.
- **Desoubeaux**, **G.**, & **Chandenier**, **J.**(2010). Diagnostic biologique d'une infection aspergillaire. Feuillets de Biologie, 51(294), 33-40.
- Dajoz R. (2000), Précis D'Ecologie : Cours Et Exercices Résolus. 7ème édition. Dunod, Paris.
   613p.
- Delarras, C. (2010). Surveillance sanitaire et microbiologique des eaux. Réglementation-Prélèvements-Analyses. Ed. TEC et DOC/Lavoisier Paris.
- **Dellarras C., B.Trebaol .(2008).** Surveillance Sanitaire Et Microbiologique Des Eaux : Réglementation Prélèvements Analyses. Paris : Édition TEC & DOC ,2008. P : 32-40
- **Delarras C., 2003.** Microbiologie de l'environnement avec législation, travaux pratiques commentés. Gaetan morin editeur. 223p
- **Dellarras C.** (2000). Microbiologie de l'environnement avec législation : travaux pratique. Gaëtan moriu éditeur. P : 117-136.
- D.MOHAMMEDI 2017 Classification et mode d'action des antibiotiques. Accessible à :
   <a href="https://sofia.medicalistes.fr/spip/IMG/pdf/classification\_et\_mode\_d\_action\_des\_antibiotiques.pdf">https://sofia.medicalistes.fr/spip/IMG/pdf/classification\_et\_mode\_d\_action\_des\_antibiotiques.pdf</a>

## $\mathcal{E}$

- **EMMANUEL, E. 2003**. Évolution des risques sanitaires et écotoxicologiques liés aux effluents hospitaliers. 247P
- **Epaulard, O., & Brion, J. P. (2009).** Phénicolés (chloramphénicol et thiamphénicol). Traité de Médecine Akos, 4(4), 1-6.
- El Addouli, J., Chahlaoui, A., Berrahou, A., Chafi, A., Ennabili, A., & Karrouch, L. (2009). Influence des eaux usées, utilisées en irrigation, sur la qualité des eaux de l'Oeud Bouishak-région de Meknes (centre-sud du Maroc). Rev. Microbiol. Ind. San et Environn, 3(1), 56-75.

 $\mathcal{F}$ 

- Floret, N., Bertrand, X., Thouverez, M., & Talon, D. (2009). Infections nosocomiales à Pseudomonas aeruginosa: origine exogène ou endogène de la bactérie responsable?. Pathologie Biologie, 57(1), 9-12
- Festy B., Hartemann P., Ledrans M., Levallois P., Payment P., Tricard, D. (2003). Qualité de l'eau. Environnement et santé publique-Fondements et pratiques, 333-368 p.

G

- Gaujous D., (1995). La pollution des milieux aquatiques, aide-mémoire 2éme
- George, I., Crop, P., & Servais, P. (2002). Fecal coliform removal in wastewater treatment plants studied by plate counts and enzymatic methods. Water research, 36(10), 2607-2617.
- Ghazali, D., & Zaid, A. (2013). Etude de la qualité physico-chimique et bactériologique des eaux de la source Ain Salama-Jerri (Région de Meknès-Maroc). LARHYSS Journal P-ISSN 1112-3680/E-ISSN 2521-9782, (12).
- GLEESON, C ET GRAY. 1997. The coliform index and waterborne disease problems of microbial drinking water assessment. E & FN Spoon, London. 194p
- Gueye, M. T., Bop, D., Sorlini, S., Ndoye, A., & Gueye, O. (2023). Impacts de la qualité des ressources en eau sur la biodiversité de l'écosystème aquatique du lac de Technopole et sur les produits agricoles dans cette zone humide de Pikine (Dakar, Sénégal). International Journal of Biological and Chemical Sciences, 17(1), 173-191.

 ${\mathcal H}$ 

• **Herbet S., Lecar B., (2000).** Suivi de la qualité des rivières et des petits cours d'eau. Québec Direction des suivie de l'état de l'environnement. Ministère de l'environnement, rapport n°: QE. 123.24p

• **Iounes, N., Kabriti, M., & El Amrani, S. (2016).** Caractérisation physico-chimique et analyse biologique des eaux de surface de l'Oued Daliya, Maroc. Afrique Science, 12(4), 256-270.

# J

- **Jones et al., 2015 by DE Jones 2015 •** Cited by 976 We examined whether kindergarten teachers' ratings of children's ... and the conduct of social relationships
- **JORA. 2011.** Journal Officiel de la République Algérienne. N°18. 35p.
- Jacinta, C., Uzoigwe, E., O'Brien, H. and Brown, E.J. 2007. Using nutrient utilization patterns to determine the source of Escherichia coli found in surface water. African Journal of Environmental Science and Technology, 1(1): 007-013.

## $\mathcal{K}$

- Khettaf S., (2018). Evaluation physico-chimique de l'eau d'un barrage et proposition d'un traitement adapté pour une eau de haute qualité. Thèse de doctorat, Université El-Hadj Lakhdar Batna 1, Algérie
- Khattab, IS, Bandarkar, F., Khoubnasabjafari, M. et Jouyban, A. (2017). Densité, viscosité, tension superficielle et volume molaire des mélanges propylène glycol + eau de 293 à 323 K et corrélations par le modèle Jouyban Acree. Journal arabe de chimie, 10, S71-S75.
- Klebsiella, M., Serratia, S., & Cedecea, E. (2016). Chapitre 30. Bacilles à Gram négatif aérobies et aéro-anaérobies 303. Bactériologie médicale : Techniques usuelles, 302.

## $\mathcal{L}$

- Labres, E., Azizi, D., Boudjellab, B., 2006. Cours d'Hygiène et de Microbiologie des Eaux : Microbiologie des eaux et des boissons, Institut Pasteur d'Algérie. Documentation interne.
- Larpent J. (1997). Microbiologie des eaux d'alimentaire : Technique de labo. Edition Tec et Doc. P : 294-300.

• Liazid A. (2012). Etude de la résistance aux antibiotiques des bactéries à Gram négatif non fermentantes au niveau du C.H.U de Tlemcen. Mémoire de magister. Université Abou BekrBelkaid-Tlemcen. P: 12-17.

## $\mathcal{M}$

- **MEZERDI, D.** Analyses Physicochimique des ressources en eau de surface Réception d'effluents d'eaux usées courants à BISKRA Etude comparative entre oued Biskra et Zemor.
- Morand, A. et Morand, JJ (novembre 2017). Pseudomonas aeruginosa en dermatologie.
   Dans Annales de Dermatologie et de Vénéréologie (Vol. 144, n° 11, pp. 666-675). Elsevier Masson.
- Monod, T. (1989). Méharées géographiques (N.A.N.I) normes Algérienne et normes international (2002). France loisir. 233 p.er. Institut Pasteur d'Alger ,40p.
- Merzoug, S. (2009). Etude de la qualité microbiologique et physicochimique de l'eau de l'écosystème Lacustre Garaet Hadj-Taher (Benazzouz, Wilaya Skikda), [Mémoire De Magister], Hydro-écologie Santé, eau et environnement, Université 08 Mai 1945 De Guelma, 115p.
- Masson, J.B. (1988). Suivi de la qualité des eaux superficielles: l'expérience française. In: la qualita della acqua superficielle Criteria per une méthodologie omogenea di valutazione, atti del convegno intrazione, Palazzo dei congeressi. (28-29 April), 99 110p
- Metahri .M.S, 2012 : Elimination de la pollution azotée et phosphatée des eaux usées traitées, par des procédés mixtes. Cas de la STEP Est de la ville de Tizi-Ouzou. (thèse de doctorat). UMMTO.
- Madigan M et Martinko J, (2007). Biologie des micro-organismes. 11ème édition Pearson Education France. ISBN 978-2-7440-7209-3.
- Mwanza, P. B., Katond, J. P., & Hanocq, P. (2019). Evaluation de la qualité physico chimique et bactériologique des eaux de puits dans le quartier spontané de Luwowoshi (RD Congo).
- Mouni, L., Merabet, D., Arkoub, H. et Moussaceb, K. (2009). Etude et caractérisation physico-chimique des eaux de l'oued Soummam (Algérie). Sécheresse, 20 (4), 360-366.

# ${\mathcal N}$

- **Ngaram, N.** (2011). Contribution à l'étude analytique des polluants (en particulier de type métaux lourds) dans les eaux du fleuve Chari lors de sa traversée de la ville de N'Djamena (Doctoral dissertation, Université Claude Bernard-Lyon I; Université de N'Djaména)
- NAIMA, B. E. K. H. O. U. C. H. E., SAIDA, K. H. I. E. L., ABDELLAH, O. U. L. D. J. A. O. U. I., LABED, A. B. A. B. S. A., & FAISA, M. A. R. N. I. C. H. E. (2022). QUALITE PHYSICO-CHIMIQUE DES EAUX DE L'OUED SIGUS (NORD-EST DE L'ALGERIE): CARACTERISATION ET ANALYSE EN COMPOSANTES PRINCIPALES. REVUE DES BIORESSOURCES, 12(2).
- NGOUALA MABONZO, M. (2020). Caractérisation hydrochimique des eaux souterraines de la zone de contact du bassin sédimentaire côtier et du socle du Précambrien inférieur au sud-ouest de la République du Congo. Cinq Continents, 10(21).
- Nguefack, C. V. S., Ndjouenkeu, R., & Ngassoum, M. B. (2018). Qualité de l'eau de la localité de Dschang et impact sur la santé des consommateurs. Afrique Science, 14(3), 96-107.

## O

- Oumhani, A. M. R. A. N. E., Amine, M. M., & Messaouda, L. A. B. C. H. A. K. I. (2023).
   Les effets de la pollution sur la qualité des eaux d'Oued Mellague (Doctoral dissertation,
   Université Echahid Chikh Larbi Tebessi-Tebessa).
- Ozenda P., (1982). Végétaux dans la biosphère. Doin Editeurs.
- OMS (2000) Directives de qualité pour l'eau de boisson ; volume 2 critères d'hygiène et documentation à l'appui. Organisation mondiale de la Santé, 2e Édition, 10p. Résumé accessible à : http : <a href="www.who.int/water\_sanitation\_health/GDWQ/Summary\_tables/">www.who.int/water\_sanitation\_health/GDWQ/Summary\_tables/</a>
- Oertli, B., & Frossard, P. A. (2013). Mares et étangs : Ecologie, conservation, gestion, valorisation. PPUR Presses polytechniques.

• OMS. (2014). Surveillance de la qualité de l'eau de boisson. Genève, 1977, 143 p.

## $\mathcal{P}$

- Plesiomonas, V. A. (2016). Genre Vibrio. Bactériologie médicale : Techniques usuelles, 325.
- Pena-Hernandez, DC, Joneson, J., Wilkes, RP et Hendrix, GK (2023). Évaluation de RapidChek® SELECT<sup>TM</sup> pour la détection de Salmonella spp. Dans des échantillons environnementaux provenant d'un hôpital vétérinaire. Journal des méthodes microbiologiques, 214, 106843.
- **Pr BENMEZDAD A. (2015).** Candida et candidoses Tropicultura.
- Poirel, L., Corvec, S., Decousser, J. W., Allouch, P. Y., Drugeon, H., & Nordmann, P. (2006). Emergence of carbapenem-hydrolysing metallo-β-lactamase VIM-1 in Pseudomonas aeruginosa isolates in France. Clinical Microbiology and Infection, 12(9), 941-942.
- Pierre Verhac (2019) Étude et optimisation des cycles de lyophilisation d'une souche probiotique modèle. THES
- Plusquellec A 1991 Viande et produits carnés. pp. 360-378. In Bourgeois C.M., Leveau J.M. (ed.). Techniques d'analyse et de contrôle dans les IAA. Vol 3. Tec et Doc Lavoisier, Paris, France. pp. 360-378.

# $\mathcal{R}$

- Reggam A., (2015). Contribution à l'étude de la qualité microbiologique et physico-chimique des eaux d'Oued Seybouse. Thèse de Doctorat. Université 8 Mai 1945, Guelma. 174 p.
- RODIER J, LEGUBE B, MERLET N, (2009). Analyse de l'eau. 9éme édition. Ed. Dunod, paris 1350p.
- **Rejsek**; 2002. Analyse des eaux, Aspects réglementaires et techniques. Série Sciences et technique de l'environnement, 360p.
- **RODIER J.** (1984). L'analyse de l'eau, 7ème Edition, Ed. Dunod, Paris. SUBRAMANIAN V., DAS B.K. (1994). Nature and transport of solute load in the Cauvery River Basin, India, Wat. Res., 28(7), 1585-1593

- Reggam, A., Bouchelaghem, H., & Houhamdi, M. (2015). Qualité physico-chimique des eaux de l'Oued Seybouse (Nord-Est de l'Algérie): caractérisation et analyse en composantes principales. Journal of Materials and Environmental Science, 6(5), 1417-1425.
- Rejsek F. 2002 analyse des eaux : aspects réglementaires et techniques. Sceren. Paris.
- 360p. édition. Dunod. Paris .1130p.

S

- Sylvie-Carle. 2009. La résistance aux antibiotiques : un enjeu de santé publique important. P.
- **Sougakoff W, Trystram D.** Résistance aux β-lactamines. Université Pierre et Marie Curie, Faculté de médecine,2003, 78p.
- Stearns, J., & Surette, M. (2019). Microbiology for dummies. John Wiley & Sons.
- SAFRI S, SALEM W (2016) Identification et étude de l'antibiorésistance des bactéries isolées de différents échantillons d'eau.

 ${\mathcal T}$ 

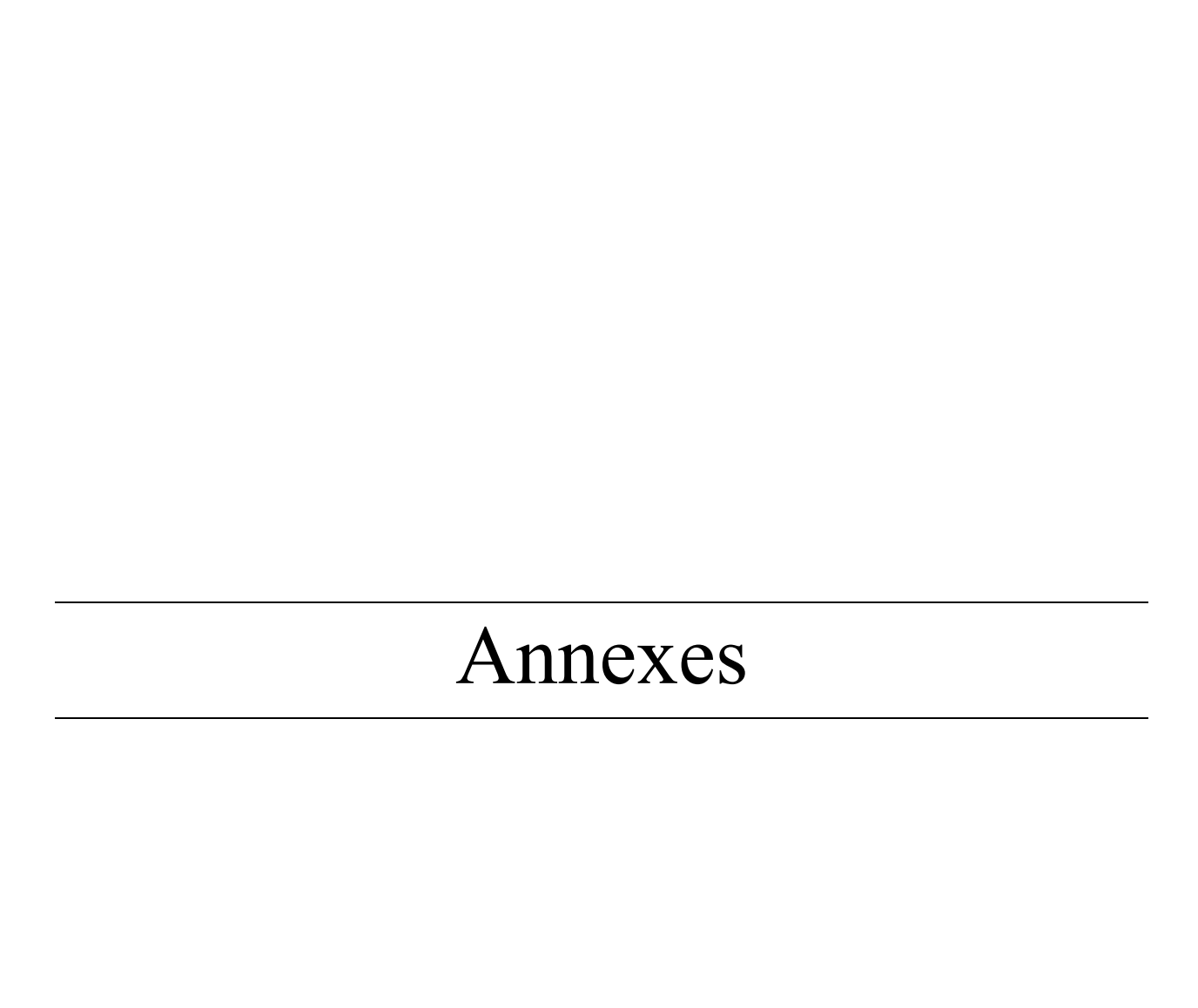
- **Tridi Ch., Far M., (2020).** Etude de la qualité physico-chimique des sources d'eau souterraine de la wilaya d'el Taref (nord-est algérien). Mémoire. Université Badji Mokhtar, Annaba, Algérie.
- **TRIPLET, Patrick.** Dictionnaire de la diversité biologique et de la conservation de la nature. 2015.

 ${\mathcal V}$ 

• VIDAL .(2016).Gentamicine : Mécanisme d'action. Accessible à : https://www.vidal.fr/medicaments/substances/gentamicine-1610.html

 $\boldsymbol{\mathcal{Z}}$ 

• **Zogheib E., H. Dupont.** (2005). Entérobactéries multirésistantes. Unité de réanimation polyvalente, département d'anesthésie-réanimation, CHU Nord, place Victor Pauchet, 80054 Amiens cedex, France. P : 153-165.



# Annexes I

## 1. Matériel non biologique

Outils de laboratoire	Appareillages	Solutions	Colorants et rèactifs	Autres
Lames et lamelles	• Etuve	L'eau oxygénée	• Fuschine	• Disques
• Pipettes Pasteur	Bec Benzène	• L'eau	Violet de	d'antibiotiques
Tubes à essai stériles	Microscope optique	Physiologique	gentiane	• Disque
• Ecouvillons	<ul> <li>Autoclave</li> </ul>	L'eau distillée	Bleu de	oxydases
Boîtes de Pétri	Bain marie	L'huile de vaseline	méthylène	Galerie API
Portoir	Balance	• Lugol	• Kovacs	20E
Pince métallique	<ul> <li>Autoclave</li> </ul>	Alcool	• TDA	Galerie API
Seringue stérile		• Sérum	• VP1	Escherichia
Anse de platine		physiologique	• VP2	coli
Récipient		Acide chloridrique	• Nit 1	Galerie API
			• Nit 2	Klebsiella
				pneumoniae
				Galerie API
				Citrobacter
				freundii
				Galerie API
				Raoultella
				ornithinolytica
				Galerie API
				Pseudomonas
				aerogunosa
				Milieux de
				culture

# 2. Composition des milieux de cultures

		Gélose Nutritive (GN)	
	Composition g/L	Caractéristiques	Photo
	✓ Peptone (10g)	La gélose nutritive est un	
	✓ Extrait de viande	milieu à usage général qui	
	(3g)	favorise la croissance d'un	
	✓ Extrait de levure	large éventail d'organismes	
	(3g)	non fibreux. La gélose	
	✓ Agar (18g)	nutritive est populaire parce	
	✓ Chlorure de sodium	qu'elle contient de	CU EK
	(5g)	nombreux éléments nutritifs	
	✓ pH=7.3	nécessaires à la croissance	
		des bactéries.	
		Gélose Chapman (MSA)	L I
	Composition g/L	Caractéristiques	Photo
<b>√</b>	Peptone (10g)	Utilisé pour l'isolement des	
✓	Extrait de viande (1g)	Staphylocoques pathogènes	
✓	Extrait de levure (3g)	qui donnent des colonies	
✓	Agar (15g)	jaunes par fermentation du	
✓	Chlorure de sodium	mannitol et virage du rouge	- ZROMO
	(75g)	de phénol.	And the second s
✓	Mannitol (10g)	Sa forte teneur en chlorure	
✓	Rouge de phénol	de sodium inhibe la	
	(0,025g	croissance de la plupart des	
✓	pH= 7.5	autres espèces.	

	Gélose Hektoen (HK)				
Composition g/L	Caractéristiques	Photo			
✓ Peptone pepsique du	Milieu sélectif				
viande (15g)	différentiels des				
✓ Extrait de viande (3g)	bactéries entèro-				
✓ Extrait de levure (3g)	pathogènes;	1			
✓ Chlorure de sodium (5g)	particulièrement de				
✓ Sels biliaires (4g)	salmonella et de				
✓ Lactose (12g)	shigella.				
✓ Salicine (2g)	La composition du				
✓ Saccharose (12g)	milieu permet la				
✓ Fushine acide (0.1g)	différenciation des				
✓ Bleu de bromothymol	colonies fermentant				
(0.065g)	rapidement un des 3				
✓ Agar (18g)	sucres et /ou produisant				
✓ pH= 7.5	de l'H2S (Centre noir).				
	Gélose au Cètrimide	<b>)</b>			
Composition g /L	Caractéristiques	Photo			
✓ Peptone de gélatine (16g)	Est un milieu sélectif;				
✓ Peptone de caséine (10g)	Composé ammonium				
✓ Cétrimide (0.2g)	quaternaire; agit comme				
✓ Sulfate de potassium	inhibiteur d'une grande				
✓ (10g)	variété de germes				
✓ Chlorure de magnésium	destinés à l'isolement au				
✓ (1,4g)	dénombrement de				
Agar (10g)	Pseudomonas aeruginosa.				

	La gèlose Mueller Hinton (MH)				
	Composition g /L	Caractéristiques	Photo		
<b>✓</b>	Extrait de viande (3g)	Est un milieu de	4000		
✓	Hydrate de viandes	référence pour les tests de	The state of the s		
	(17,7g)	sensibilité des germes			
✓	Amidon (15g)	aux antibiotiques et			
✓	Agar (10g)	sulfamides.			
<b>✓</b>	pH = 7,4		IC C		
		La gélose Sabouraud			
	Composition g /L	Caractéristiques	Photo		
✓ ✓ ✓ ✓ ✓ ✓ ✓ ✓ ✓ ✓ ✓ ✓ ✓ ✓ ✓ ✓ ✓ ✓ ✓	Peptones (10g) Glucose (ou Dextrose) (40g) Agar (15g) Eau distillée (1L) pH = 5.6	La gélose Sabouraud est une gélose non sélective utilisée pour cultiver les champignons et plus précisément en microbiologie médicale, les levures, les moisissures et les dermatophyte.			

	Gélose Chromogène pour bactéries coliformes (CCA)					
	Composition g /L	Caractéristiques	Photo			
✓ Dig	gestat enzymatique de	La gélose				
_	éine (1g)	chromogène pour				
✓ Ext	trait autolytique de levure	bactéries coliformes				
(2g		(CCA) permet le				
	lorure de sodium (5g)	dénombrement des				
✓ Dih	nydrogénophosphate de	Escherichia coli et				
sod	lium x 2 H2O (2.2g)	des coliformes dans	1 mg 10			
✓ Hy	drogénophosphate	les eaux à faible				
disc	odique (2.7g)	teneur en bactéries	/			
✓ Pyr	ruvate de sodium (1g)	(moins de 100				
✓ Sor	bitol(1g)	colonies totales). Ces				
✓ Try	vptophane (1,0 g)	eaux peuvent être				
✓ Ter	nsioactif à l'éthoxylate	l'eau potable, l'eau de				
d'a	lcool secondaire (0,15 g)	piscine désinfectée ou				
✓ - 6-	-Chloro-3-indoxyl-β-D-	l'eau propre sortant				
gala	actopyranoside	des usines de				
(0,2 g)	)	traitement.				
✓ Aci	ide 5-Bromo-4-chloro-3-	La formule-type de la				
ind	oxyl- β-D-glucuronique	gélose répond à la				
(0,1	1 g)	composition définie				
✓ Iso <sub>l</sub>	propyl-β-D-	dans la norme ISO				
thic	ogalactopyranoside (IPTG)	9308-1 : 2014				
(0,1	1 g)					
✓ Aga	ar agar bactériologique					
(16	(,0 g)					
✓ pH:	$=: 6.8 \pm 0.2$					
		La gélose Maconkey				
	Composition g /L	Caractéristiques	Photo			

✓ Peptone pancréatique de	La gélose de	
gélatine : 17,0 g	MacConkey est un	
✓ Tryptone : 1,5 g	milieu de culture	
✓ Peptone pepsique de viande :	sélectif destiné à	
1,5 g	l'isolement des	
✓ Lactose: 10,0 g	entérobactéries,	
✓ Sels biliaires : 1,5 g	notamment	
✓ Chlorure de sodium : 5,0 g	Escherichia coli et	W W W W W W W W W W W W W W W W W W W
✓ Rouge neutre : 30,0 mg	Shigella.	
✓ Cristal violet : 1,0 mg		20
✓ Agar agar bactériologique :		
13,5 g		
✓ pH du milieu prêt-à-l'emploi		
à 25 °C : 7,1 ± 0,2		

La gélose Viande Foie (VF)					
Composition g /L	Caractéristiques	Photo			
✓ Base viande foie: 30,0 g ✓ Glucose: 2,0 g ✓ Agar: 6,0 g ✓ pH=7,4	La gélose Viande-Foie complète est recommandée pour la recherche et le dénombrement de spores de Clostridia sulfito-réducteurs				

#### **ANNEXES II**

1. La localisation géographique des sites de prélèvements de l'oued Chiffa



Figure 1 : Localisation géographique des sites de prélèvements de l'Oued Chiffa (Google map modifié, 2024).





Figure 2: Oued Chiffa Site1(à gauche) et site 2(à droite) (Photo originale,2024).

2. La localisation géographique des sites de prélèvements de l'oued Beni Azza



Figure 3 : Localisation géographique des sites de prélèvements de l'Oued Beni Azza (Google map modifié,2024).



Figure 4 : Oued Beni Azza Site1(à gauche) et site 2(à droite) (Photo originale,2024).

## 3. Méthode de prélèvements



Figure 5 : Photo lors d'un prélèvement de l'eau oued Chiffa (Photo originale,2024).



Figure 6 : Photo lors d'un prélèvement de l'eau de l'Oued Beni Azza (Photo originale,2024)





Figure 7 : Photo lors d'une mesure de la température de l'eau avec un thermomètre (Photo originale,2024).



Figure 8 : Photo de transport et conservation des échantillons (Photo originale, 2024)



Figure 9 : Mesure du potentiel d'hydrogéne (pH)

**Figure 10** : Mesure de la Conductivité Electrique (CE)

**Figure 11** : Mesure de l'Oxygène dissous

#### 4. Recherche et dénombrement des Streptocoques fécaux

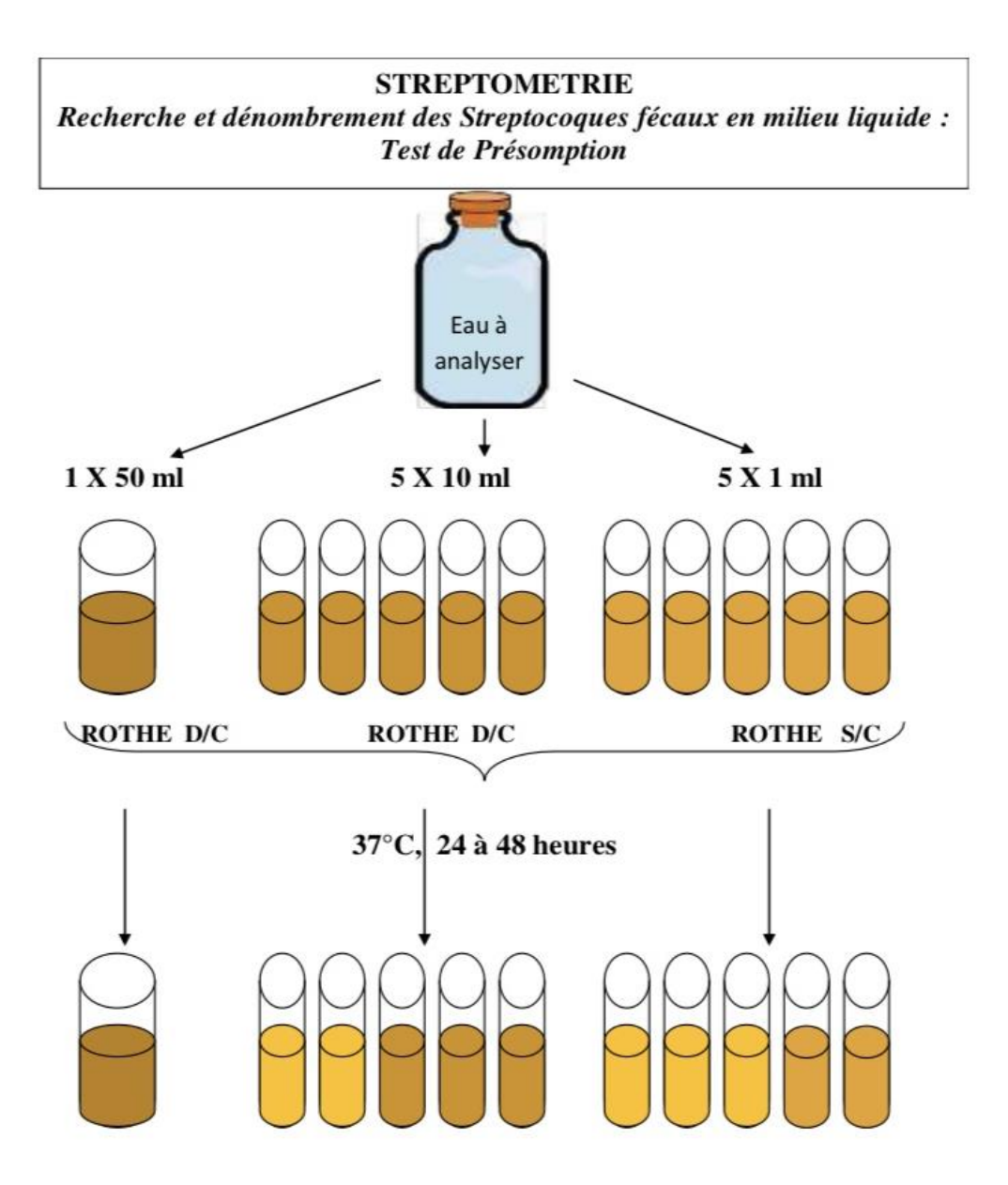
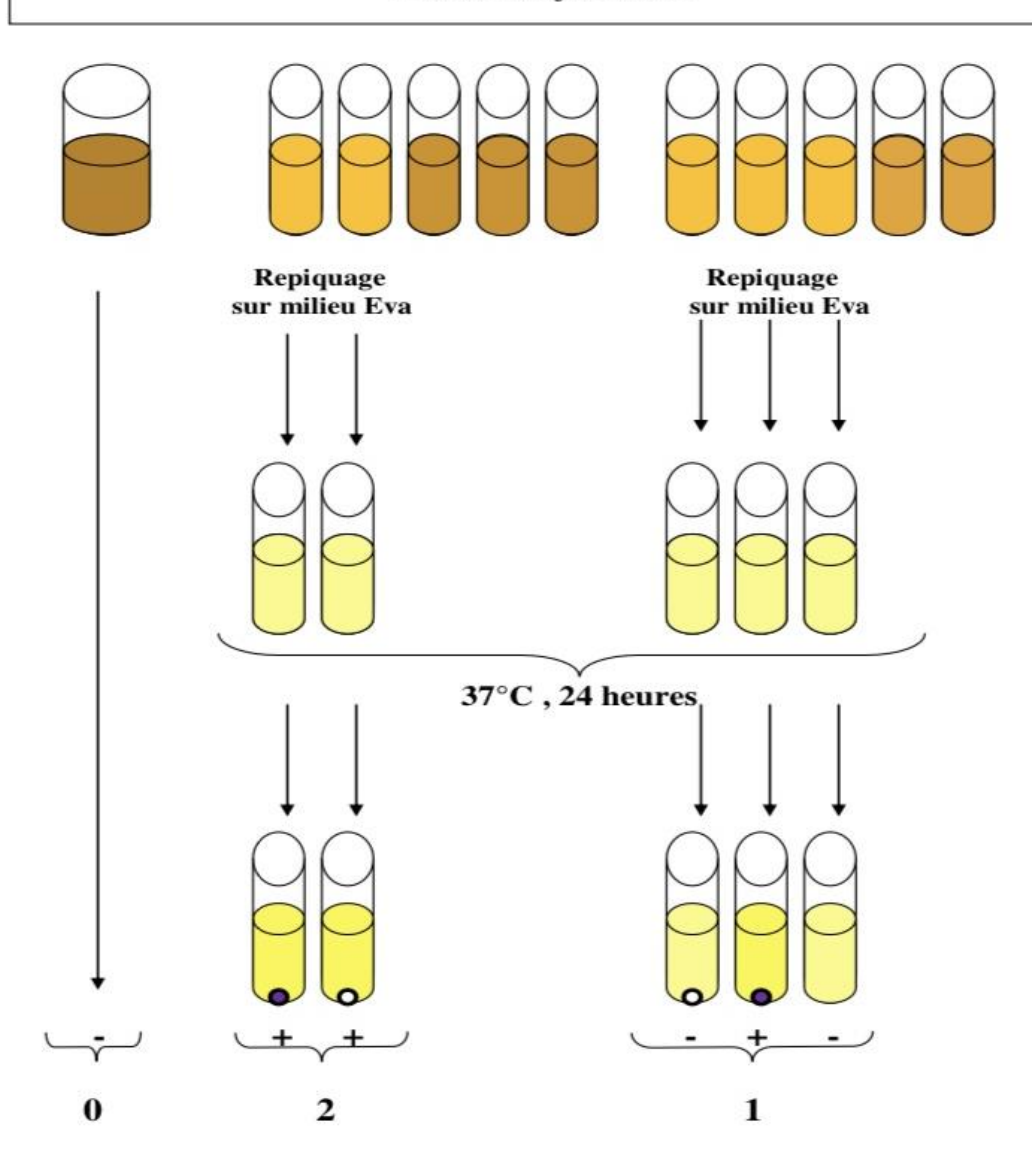


Figure 12 : Recherche et dénombrement des streptocoques fécaux en milieu liquide : test de présomption

#### STREPTOMETRIE

Recherche et dénombrement des Streptocoques fécaux en milieu liquide : Test de Confirmation



**Figure 13** : Recherche et dénombrement des streptocoques fécaux en milieu liquide : test de confirmation.

# eau à analyser 20 ml refroidissement brutal sous l'eau de robinet chauffage 80 c° pendant 8 à 10 m repartie 5 ml dans chaque tube ajoute 15 ml de gélose VF puis incube à 37 c°/24 -48 heure Présence des colonies noires entourées d'un halo noir Tube négative

## 5. Recherche et dénombrement des spores des Anaérobies Sulfito – Réducteurs

Figure 14 : Protocole de la recherche et dénombrement des spores des Anaérobies Sulfito – Réducteurs (Dellarras et Trebaol.,2008)

Présence ASR

#### 6. Recherche des Salmonelles et Vibrio

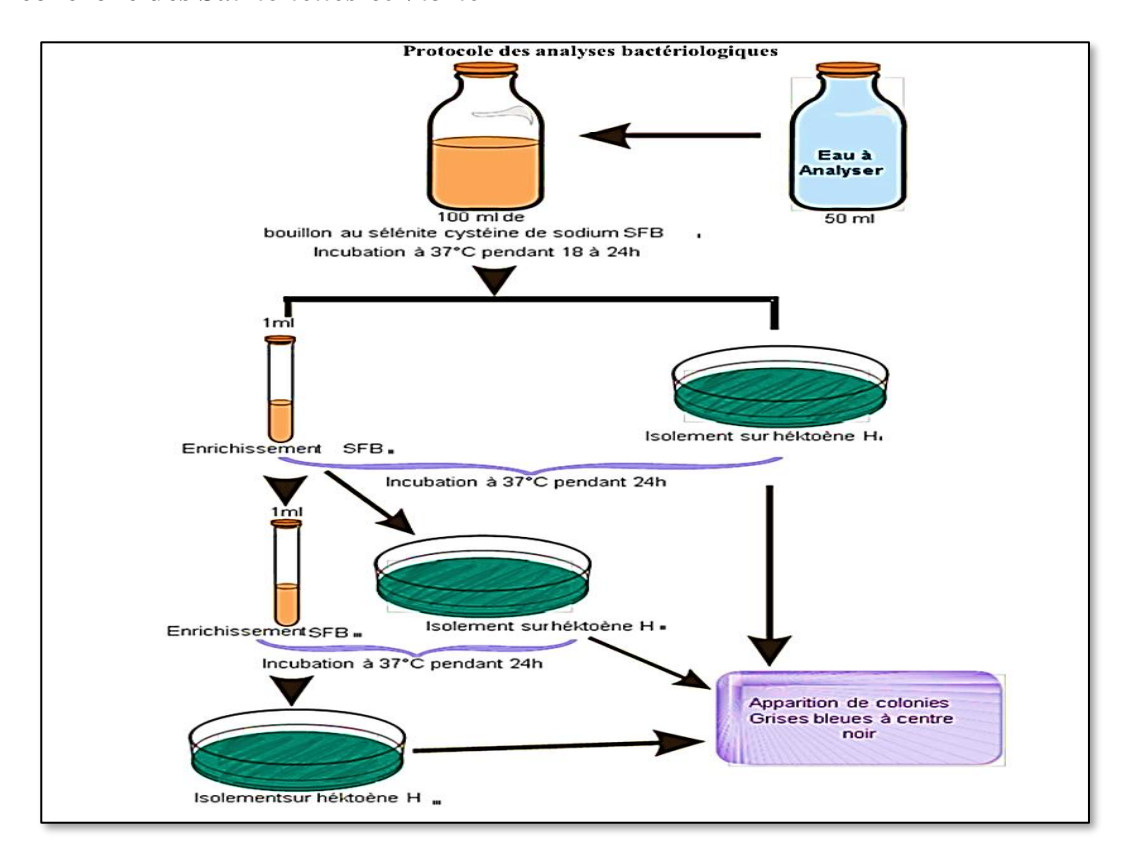


Figure 15: Protocole de la recherche des Salmonelles (Larpent, 1997)

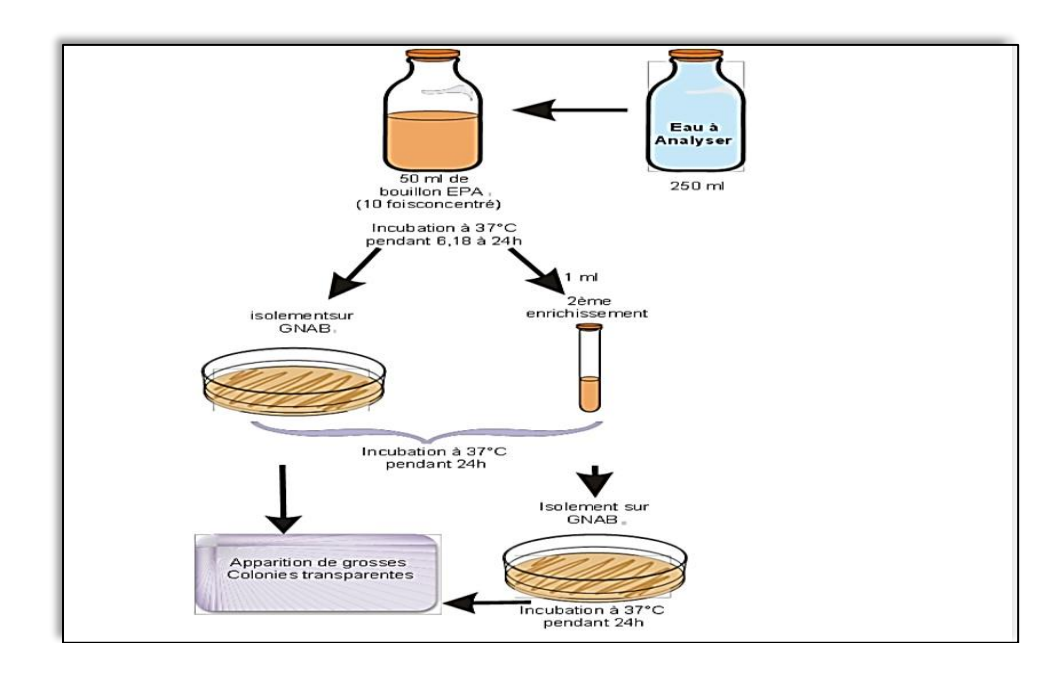


Figure 16: Protocole de la recherche des Vibrions cholériques (Dellarras, 2000).

#### 7. Protocole de la coloration de gram

L'examen microscopique après une coloration de Gram nécessite du départ une préparation d'un frottis, une colonie bien isolée d'une culture en milieu solide sera prélevée et mise en suspension dans une goutte d'eau distillée stérile. L'observation se fait par l'objectif X100. Cette coloration permet de différencier les bactéries selon deux critères : leur formes (bacille, Cocci, etc.) et leurs affinités pour les colorants en Gram positif et Gram négatif (Figure 60) Elle se déroule en plusieurs étapes qui se succèdent et consiste à :

- 1-Fixer de frottis.
- 2-Recouvrir le frottis de la solution de violet de gentiane, laisser agir 1 minute.
- 3-Rejeter le colorant, laver à l'eau.
- 4-Recouvrir la préparation de Lugol, laisser agir 1 :30 minutes.
- 5-Rejeter le Lugol, laver à l'eau.
- 6-Décolorer à l'alcool 95° pendant 10 seconds.
- 7-Rincer à l'eau courante.
- 8-Recouvrir la lame de la solution de Fuchsine diluée. Laisser agir pendant 30 seconds.
- 9-Laver abondamment à l'eau, égouttée, Sécher entre deux feuilles de papier-buvard très propres.

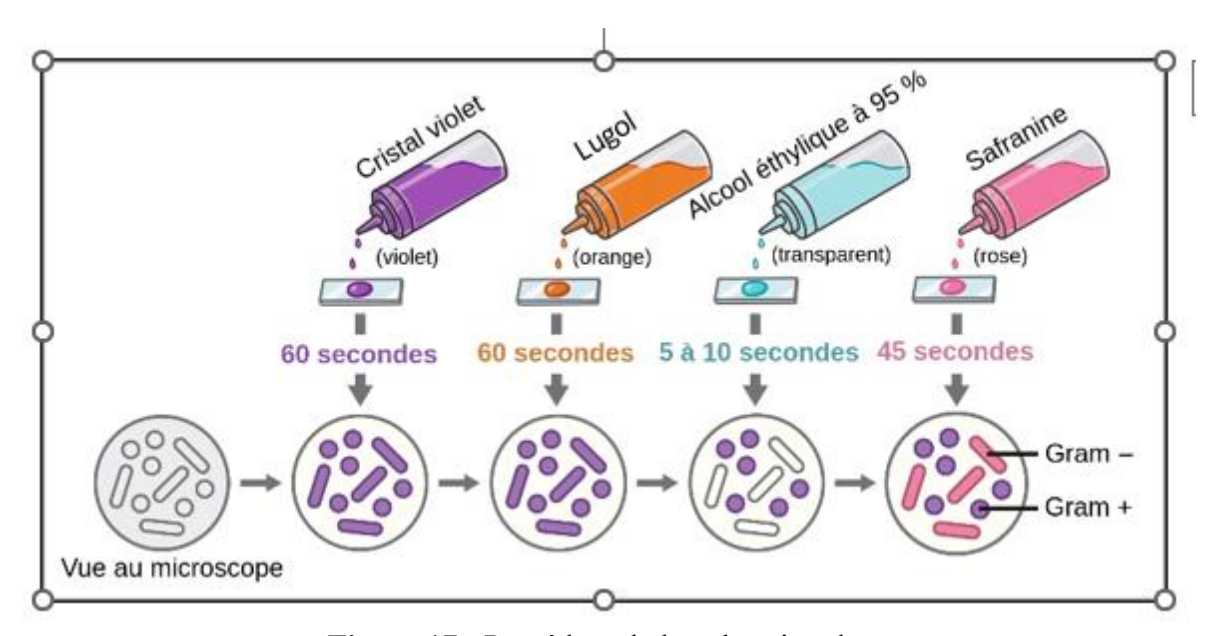


Figure 17 : Procédure de la coloration de gram

**Tableau :** Table de N.P.P (table de Mac Grady)

<u>Table de Mac Grady (NPP)</u>

1 X 50 ml	5 X 10 ml	5 X 1 ml	Nombre		e confiance
55500.000.000			caractéristique	Inférieure	Supérieure
0	0	0	<1		•
0	0	1	1	<0,5	4
0	0	2	2	<0,5	6
0	1	0	1	<0,5	4
0	1	1	2	<0,5	6
0	1	2	2 3	<0,5	8
0	2	0	2	<0,5	6
0	2	1	3	<0,5	8
0	2 2 3 3	2	4	<0,5	11
0	3	0	3 5	<0,5	8
0	3	1		<0,5	13
0	4	0	5	<0,5	13
1	0	0	1	<0,5	4
1	0	1	3	<0,5	8
1	0	2	4	<0,5	11
1	0	3	6	<0,5	15
1	1	0	3	<0,5	8
1	1	1	5	<0,5	13
1	1	2 3	7	1	17
1	1	3	9	2	21
1	2	0	5	<0,5	13
1	2 2 2	1	7	1	17
1	2	2	10	3	23
1	2	3	12	3	28
1	3	0	8	2	19
1	3	1	11	3	26
1	3	2	14	4	34
1	3	3	18	5	53
1	3 4	4	21	6	66
1		0	13	4	31
1	4	1	17	5	47
1	4	2 3	22	7	59
1	4	3	28	9	85
1	4	4	35	12	100
1	4	5	43	15	120
1	5	0	24	8	75
1	5 5 5 5 5	1	35	12	100
1	5	2 3 4	54	18	140
1	5	3	92	27	220
1			160	39	450
1	5	5	>240		

# **ANNEXES III**

**Tableau :** Tableau de lecture de la galri API 20 E

Microtube	Substrat :	Caractère recherché	Révélateur	Lecture directe ou indirecte	Résultat	Résultat +
mici olobe		Caracter Februaries	Revenue	Test (si nécessaire)		- Reserver
ONPG	ONPG = Ortho- Nitro-Phényl- Galactoside	Béta galactosidase		Lecture directe	19	9
ADH LDC ODC	Arginine Lysine Ornithine	Arginine Dihydrolase ysine Décarboxylase Ornithine Décarboxylase	Rouge de phénol	Lecture directe	9	8
CIT	Citrate	Utilisation du citrate	BBT	Lecture directe	9	9
<u>H<sub>2</sub>S</u>	Thiosulfate de sodium	Production d'H <sub>2</sub> S	Fe III	Lecture directe	9	
<u>URÉ</u>	Urée	Uréase	Rouge de Phénol	Lecture directe	P	9
TDA	Tryptophane	Tryptophane désaminase		Lecture incirecte	ğ	
IND	Tryptophane	Tryptophanase ou production d'indole		Lecture indirecte	99	99
_VP_	Pyruvate de sodium	production d'acétoine (3-hydroxybutanone		Lecture indirecte	9	99
GEL	Gélatine	gélatinase	Particules de charbon	Lecture directe	9	
GLU à ARA = zymogramme	Substrat carboné (glucide)	Utilisation de substrats carbonés (glucides)	BBT	Lecture directe	8	9
NO <sub>2</sub> -/ N <sub>2</sub>	Nitrates (NO <sub>3</sub> -)	Nitrate réductase		Lecture indirecte	9	

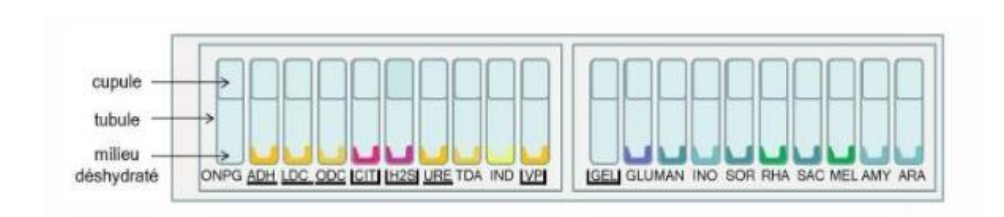


Figure 18 : Présentation de la galerie API 20 E (Stearns et Surette,2019)

Tableau : Tableau de lecture de galri API 20NE

Tests	Tests Substrat Enzymes/		R	Résultats
			Négatif	Positif
NO3		Réduction des nitrates en nitrites	NIT1	+NIT2/ 5mn
	Nitrate de potassium		Incolore	Rose - rouge
		Réduction des nitrates en azote	Z	ZN/ 5mn
			Rose	Incolore
TRP	Tryptophane	Formation d'indole	TR	P/ 3-5 mn
			Incolore	Goutte rouge
GLU	Glucose fermentation	Fermentation	Bleu à vert	Jaune
ADH	Arginine	Arginine dihydrolase	Jaune	Orange /rose/rouge
URE	Urée	Uréase	Jaune	Orange /rose/rouge
ESC	Esculine	Hydrolyse	Jaune	Gris /marron/noir
GEL	Gélatine	Hydrolyse	Pas de diffusion du pigment	Diffusion du pigment noir
PNPG	p-nitro-phényl-BD galacto pyranoside	β-galactosidase	Incolore	Jaune
GLU	Glucose			
ARA	Arabinose	1		
MNE	Mannose			
MAN	Mannitol	Assimilation	Transparence	Trouble

NAG	N-acétylglucosamine			
MAL	Maltose			
GNT	Gluconate			
CAP	Caprate			
ADI	Adipate			
MLT	Malate			
CIT	Citrate			
PAC	Phènyl-acètate			
OX	Tetraméthyl-pphenylène diamine	Cytochrome oxydase	Incolore	Violet



Figure 19 : Présentation de la Galerie Api 20NE

# **ANNEXES IV**

**Tableau :** Grille d'appréciation de la qualité de l'eau en fonction de la température **(Monod,1989).** 

Température	Qualité	Classe
<20°C	Normale	1A
20°C-22°C	Bonne	1B
22°C-25°C	Moyenne	2
25°C-30°C	Médiocre	3
>30°C	Mauvaise	4

Tableau : Grille d'estimation de la qualité de l'eau selon le pH (Benslimane, 2002).

Qualité de l'eau	pН
Acidité forte	pH < 5
Neutralité (eau pure)	pH = 7
Neutralité rapproché (eau de surface)	7< pH<8
Majorité des eaux souterraines	5.5 <ph>8</ph>
Alcalinité, évaporation intense	pH>8

Tableau : Grille de la qualité des eaux superficielles pour la CE (ABH, 2009).

Paramètre	Unité	Très	Bonne	Passable	Mauvaise	Très
Classe		bonne				mauvaise
CE	μs /cm	180-2500	120-3000	60-3500	0-4000	>4000

Tableau : Qualité des eaux en fonction de la saturation en oxygène dissous (Masson, 1988, Merzoug, 2009).

Paramètre	Unité	Excellente	Bonne	Passable	Mauvaise	Très
Classe						Mauvaise
O2	Mg/l	>7	5-7	3-5	< 3	0

#### **ANNEXES V**

Tableau : Rapport CF/SF pour la connaissance de l'origine de la pollution fécale.

Rapport CF/SF	Observation
r<0.70	Entièrement d'origine animale
0.7 <r<1< td=""><td>Mixte à prédominance animal</td></r<1<>	Mixte à prédominance animal
1 <r<2< td=""><td>D'origine incertaine</td></r<2<>	D'origine incertaine

2 <r<4< th=""><th>Mixte à prédominance humaine</th></r<4<>	Mixte à prédominance humaine
r>4	Source exclusivement humaine

Description de la souche : Aspergillus niger			
Recto	Verso	Aspect microscopique	
Temps de pousse : 2-3jours T°C : 25°C.	Z. Sab		
Colonies blanches, puis jaunes et enfin	Incolore, jaune.	Tête aspergillaire :	
granuleuses noires.		radiée	
		- Conidies : grosses	
		globuleuses, brun	
		Échinulées	
		-Vésicule globuleuse	
		-Conidiophore : Long	
		lisse, incolore	
		brunâtre/partie	
		supérieur)	
		-Pas de cléistothèces	

#### **ANNEXES VI**

#### **Identification fongique:**

L'aspect (recto et verso), la couleur, la température et la vitesse de pousse des souches À partir des échantillons d'eau d'oued 5 isolats de champignons filamenteux ont été obtenus :

Description de la souche : Aspergillus fumigatus				
Recto	Verso	Aspect microscopique		
Temps de pousse : croissance rapide 24-48h à 25°C	20102124 3002124			
Colonies évoluant du blanc au bleu-	Incolore, jaune, vert ou brun	<b>Tête aspergillaire :</b> Jusqu'à,		
vert foncé à gris noirâtre	(selon la souche)	unisériée, en colonne		
		- Conidies petites, globuleuse,		
		vertes,		
		Échinulées		
		-Vésicule hémisphérique		
		-Conidiophore : lisse, incolore,		
		évasement progressif au sommet		
		-Pas de cléistothèces		

Description de la souche : Aspergillus flavus			
Recto	Verso	Aspect microscopique	
Temps de pousse : 2-3 jours à 25°C.	ZaHR <sup>P</sup>		
Colonies duveteuses à poudreuses	Incolore, rosé, à brun rouge-	Tête aspergillaire: Uni ou	
blanches, puis jaunes puis vert-	foncé.	Bisériée, radiée	
jaunes.		- Conidies : grosses,	
		globuleuses, vert pâle, brunes,	
		échinulées	
		- Vésicule sphérique	
		-Conidiophore : Long	
		jusqu'à, hyalin souvent	
		verruqueux	
		-Pas de cléistothèces.	

#### Description de la souche Fusarium **Recto** Verso **Aspect microscopique** Temps de pousse : 2-5j à 25°C Les colonies peuvent être blanches, Des teintes de blanc, rose, Macroconidies: longues, effilées, avec roses, rouges, violettes, ou brunes. violet, brun, plusieurs septations. rouge, Présenter des nuances de jaune ou parfois jaune. Microconidies: petites, ovales à La couleur peut être plus d'orange. allantoïdes, peu ou pas septées. Les colonies souvent uniforme ou légèrement Phialides : cellules conidiogènes en sont différente par rapport au forme de flacon. duveteuses ou cotonneuses, avec une apparence dense recto, parfois plus foncée. Chlamydospores : structures épaissies de filamenteuse. La texture apparaissant plus survie. Les marges des colonies peuvent lisse. **Hyphes :** filaments septés et hyalins. être régulières ou irrégulières. Il peut y avoir des zones plus opaques ou transparentes selon l'épaisseur de colonie et la production de spores.

Description de la souche : Candida albicans			
Recto	Verso	Aspect microscopique	
Temps de pousse : 24h à 48h à 27°C	7.05.224		
Globulaires, ovoïdes ou	Incolore, blanches	Cellules de levure :	
cylindriques. Apparaissent	,	Ovales à rondes, 3 à 6	
macroscopiquement sous forme		micromètres de diamètre.	
de colonies blanches à crémeuses		Reproduction par	
de 1 à 3 mm. Leur texture peut		bourgeonnement.	
être pâteuse, lisse, brillante, à		Hyphes et pseudohyphes :	
bord régulière		Hyphes: Filaments allongés et	
		septés.	
		<b>Pseudohyphes</b> : Chaînes de	
		cellules allongées avec des	
		constrictions aux jonctions.	
		Blastoconidies :	
		Spores produites par	
		bourgeonnement, apparaissant	

	comme des cellules isolées ou en petites chaînes.  Chlamydospores: Grandes spores épaissies, formées dans des conditions spécifiques, souvent aux extrémités des hyphes ou pseudohyphes
Résultat de test de filamentation (tube germinatif): l'apparition d'une tube germinatifs	

# **ANNEXES VII**

Tableau: Noms, abréviations et charge d'antibiotiques utilisés

Familles d'antibiotiques	Abréviation	Antibiotiques	Charge du disque
β-lactamines	AMC	Amoxicilline + Acide clavulanique	20+10μg
	AX	Amoxicilline	10µg
	CTX	Céfotaxime	30µg
	CZ	Céfazoline	30µg
	IMP	L'imipènem	10 μg
	TCC	Ticarcilline+Ac.clavulanique	75+10 µg
	FOX	Cèfoxitine	10 μg

	CAZ	Ceftazidime	10 à 30 μg
	ATM	Aztréonam	30 μg
Aminoside	TOB	Tobramycine	10 μg
	GEN	Gentamicine	10 μg
	С	Amoxicilline + acide clavulanique	15 μg
Sulfamides	COT	Cefotetan	25 μg
	ETP	ETP-Triméthoprime	15 μg
Fluoroquinolones	CIP	Ciprofloxacine	5 μg
Aminoglycosides	AK	Amikacine	30 μg
Céphalosporine	FEP	Céfépime	30 µg
Pénicilline	NA	Acide nalidixique	5 μg
	PRL	Pipèracilline	5 μg

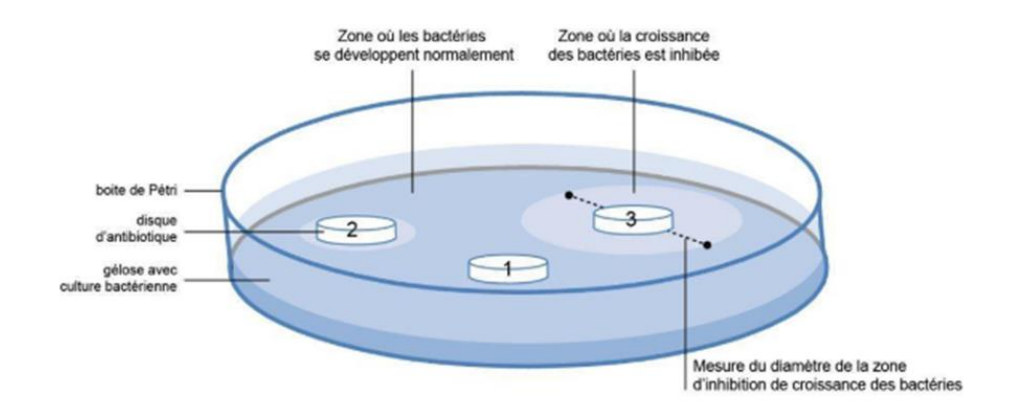


Figure 19: Antibiogramme par méthode de diffusion (Jehl et al.,2015)

**Tableau :** Tableau de lecture de l'antibiogramme des *Entérobactéries*.

1 - 11   01.5   Oct.   Oct.	5 10 10 10 10 10 10 10 10 10 10 10 10 10	44.2   54.1   02.5   04.2   54.1   02.5   04.5	11.2   21.   11.5   12.   13	
21 - 11 - 12 - 13 - 13 - 13 - 13 - 13 -	2 2 2 1 1 2 2 2 2 2 2 2 2 2 2 2 2 2 2 2	2 2 2 2 2 2 2 2 2 2 2 2 2 2 2 2 2 2 2	2	Bell   Cell colleges   Japan   Selection   Japan   Selection   Japan   Selection   Japan   Selection   Selection
11 - 12 - 12 - 12 - 12 - 12 - 12 - 12 -	3 3 2 3 4 2 2 2 2 2 2 2 2 2 2 2 2 2 2 2	24	24	Collections
	# 1			CHI crise in June   CHI crise in June   CHI crise in June   CHI

**Tableau :** lecture de l'antibiogramme de *Pseudomonas aeroginosa*.

1t B/0s aupsix	Manspore** 33.40 <14 N - 10	Footoeycov " Sityg GEP	Aerifonators 549 13 14-16	Contilescore (Np 15 15-20	Telesempline 10.30 12 13-14	Malricon 30 July 12 13 - 54	Scientific (3) 15 15 15 15 15 15 15 15 15 15 15 15 15	Name 20 Mg 19 19 19 19 19 19 19 19 19 19 19 19 19	Mary CL Bills australia	Agridonam 36 Jij 15 16 - 27	Cetaraties 30 Mg 14 15 - 17	Rolescilles 100 µg 11 -		tertifes 1570jg 14 -	11 12
п	179	7	17	21	15	15	15	17	#	a	31	18	3	Z.	z ==
	+16	ř		-	16	#	31	£	K	10	12	178	-	1989	831
	16.0	- 1		7		36	-	Ħ		¥	16	1	1		1
tu .	8.4	\$12	+4	-	-	-	-	35		-	-	22	100	6112	10
	Tester over un mocalum 0.50F disat au 1/10***	Tester avec un incestam 0.5MF diue su 1/19** - ne pas prendro en comple la présence de citizado dans la bane d'arbitratan							En cas de alambas R ou L álloctico de carbaptelemanes drair recherches complémentations.	If est recommende d'informer les infoclialogues, pharmaciens, comité des antibodiques et CUIR de Displasi, de ces nouveaux critices d'interprétation. Consulter le clinicien, en particulier pour les patients spécifiques.	Culturations of Agreement in posteriors on on our opinions on	respect do posseguir	typidgewits peer los o	the services retrieved the sail	Datectur une BLSE en propert le cioque de TCC entre le duque de CAZ et la discue d'AZM (vuir d'expre tras-